

784-
1984

ISSN—0132—6074 საქართველოს მეცნიერებათა აკადემიის მაცნე
საქართველოს სსრ მეცნიერებათა აკადემიის მაცნე

ИЗВЕСТИЯ АКАДЕМИИ НАУК ГРУЗИНСКОЙ ССР
PROCEEDINGS OF THE ACADEMY OF SCIENCES
OF THE GEORGIAN SSR

ЭПАПП
СЕРИЯ
ХИМИЧЕСКАЯ

1984 N 3

თბილისი ტბილისი - ТБИЛИСИ - ТОМ
TBILISI VOL.

10



Изв. АН ГССР, сер. химич., 1984, т. 10, № 3, 161—240



საქართველოს სსრ მეცნიერებათა აკადემიის მაცნე
ИЗВЕСТИЯ АКАДЕМИИ НАУК ГРУЗИНСКОЙ ССР

გიაზის სერია СЕРИЯ ХИМИЧЕСКАЯ

ტომი 10, № 3

უფრნალი დაარსდა 1975 წელს
Журнал основан в 1975 году

გამოვლენება „მეცნიერება“ თბილისი
ИЗДАТЕЛЬСТВО «МЕЦНИЕРЕБА» ТБИЛИСИ 1984



СОЮЗНАЯ АКАДЕМИЯ

НАУК СССР

© Известия АН ГССР
Серия химическая, 1984

სარედაქციო პოლიგია

რ. აგლაძე, ა. ავალიანი, თ. ანდრონიკაშვილი (რედაქტორის მოადგილე), ფ. ბროუჩეკი (სწავლული მდივანი), ფ. თავაძე, ლ. მელიქაძე, ნ. ფირცხლავა, ე. ქემერტელიძე, გ. ციცაშვილი (რედაქტორი), პ. ცისკარიშვილი, ქ. ჭავჭავაძე (რედაქტორის მოადგილე).

პასუხისმგებელი მდივანი ვ. შუბლაძე

РЕДАКЦИОННАЯ КОЛЛЕГИЯ

Р. И. Агладзе, А. Ш. Авалиани, Т. Г. Андроникашвили (зам. редактора),
Ф. И. Броучек (ученый секретарь), К. Г. Джапаридзе (зам. редакто-
ра), Э. П. Кемертелидзе, Л. Д. Меликадзе, Н. И. Пирцхалава, Ф. Н. Та-
вадзе, Г. В. Цицишвили (редактор), П. Д. Чискаришвили.

Ответственный секретарь В. В. Шубладзе

EDITORIAL BOARD

R. I. Agladze, A. Sh. Avaliani, T. G. Andronikashvili (Associate Editor),
F. I. Brouchek (Scientific Secretary), K. G. Japaridze (Associate Editor),
E. P. Kemertelidze, L. D. Melikadze, N. I. Pirtskhalava, F. N. Tavadze,
G. V. Tsitsishvili (Editor), P. D. Tsiskarishvili.

Executive Secretary V. V. Shubladze

ეურნალი გამოდის 3 თვეში ერთხელ
Журнал выходит раз в 3 месяца

არაორგანული და ანალიზური ჩიმია

ბროუნ ჩეკი ფ. სორბციის წონასწორობა და სელექტურობა ლიგანდებით მოდიფი-
ცირებულ ანიონიტებზე 173

ორგანული ჩიმია

ახვლედიანი რ., ერაკსინა ვ., ხაჩიძე მ., სუვოროვი ნ. ფრიდელ-	177
კრაფტსის რეაქცია პიროლის რეგში	
დოლიძე ა., ალავიძე თ., ლაპიძე შვილი ა., კოდანაშვილი მ. C ₆ —C ₈	182
ციკლოჯექსენური ნახშირწყალბადების კარბონილირება ნახშირუანგით	
ჩხაიძე, მ., ასპანიძე ლ., დოლიძე მ. 13C სტაბილური იზოტოპით ნიშან- დებული იოდიანი მეთილის სინთეზის მეთოდის გაუმჯობესება და ანალიზი	186

ფიზიკური ჩიმია

ალექსეევი პ., ხანანაშვილი ლ., პოვარნინი პ., ზინოვევინი ტ.	194
ა, ა-ბის(არგანოციკლოსილოქსი)-დიმეთილსილოქსანების სტრუქტურის გავლენა მათ თბოთინიკურ თვასებებზე	
ციციშვილი გ., ხუროშვილი დ., ურუშაძე მ., უილოროვი გ., პელმენშიჩიკოვი ა., რუდა ლ. ცეოლითებს სტრუქტურული სტაბი- ლურობის კვანტურ-ქიმიური გამოვლევა. ცეოლითების და ბორალიტების ამო- ნიუმიანი და წყალბადური ფორმების სტაბილურობის შედარება	198
მდივნიშვილი ო., კობახიძე ე., მჭედლიშვილი გ., სარიშვი- ლი ი. სოლარის ზეთით მოდიფიცირებული დიატომიტის კვლევა და მისი გა- მოცდა პოლიმერულ მასალებში შემცვების სახით	203

ტექნოლოგია

შახტარსკი გ., შაქაროვი გ., გეიდაროვი ა. თუთის წარმოების რეტორტული ნარჩენებიდან ძვირფასი კომპონენტის ამოწმობის პირობების შეს- წავლა	208
გაფრინდაშვილი ვ., ჭავაია ზ., რუხაძე გ., ნიჟარაძე ნ., ოტია- შვილი დ., ბერიკაშვილი ი. თუთიაფოსფატის მიღების პროცესის რატიომიზაცია	212

მოქლე ჯერილები

სიდამონიძე შ., კორშაკი ვ., ციციშვილი გ., მატუშევსკაია მ., კუდრიავცევი ი., მარჩილაშვილი ქ. კარბინის ალსორბციული თვა- სებების გამოკვლევა	215
ბროუნ ჩეკი ფ. ლიგანდებით მოდიფიცირებულ ანიონიტებზე სორბციის კინეტიკის ძირითადი საკითხები	218
ჭირაქაძე გ., ბოხუა დ., ლონლაძე ნ. ნავთობ-წყლიან ხსნარების გაწმენდა ზედაპირულად აქტიური ნაერთის ИМФ—1-საგან	221
თავართქმილაძე ი., ერისთავი მ., ბერეჟიანი ნ. მ. ხსნარებიდან კრისტა- ლიზაციის პროცესის ხანგრძლივობის პროგნოზირების მეთოდიკა	225
მამულაშვილი ა., მახათაძე ც., ცინცაძე მ. კობალტის (II) და ნიკელის (II) კორდინაციული ნაერთები ტრიციანმეთანიდობან და პირიდინკარბონმეთანიდობან ბის ამიღებთან	227
ჭავაძე ლ. ტიგოგენინიდან 5-პრეგნ-16-ენ-3-ბ-ოლ-20-ონის სინთეზი	230
ჩიგაძე გ., ჩეეიძე ლ. ანილინის მეთანოლით ალკილირება მოდიფიცირებულ სინ- თეზურ ცეოლითებზე	233
ოსიპოვა ნ. მყარ სარჩულებად გამოყენებული ბუნებრივი დიატომიტის ქრომატო- გრაფიული თვისებების კვლევა	236
ჩხიძე გიშვილი ვ., ბაირამაშვილი ი., რუსეცკი გ., ბახჩიევა ქ. ლაბორატორიული დანადგარი ვაკუუმში მასალების დიფუზური შეერთების და ფხნილების ცხლად დაყალიბებისათვის	239

СОДЕРЖАНИЕ

НЕОРГАНИЧЕСКАЯ И АНАЛИТИЧЕСКАЯ ХИМИЯ

Броучек Ф. И. Равновесие и селективность сорбции на модифицированных лигандами анионитах

167

ОРГАНИЧЕСКАЯ ХИМИЯ

- | | |
|---|-----|
| Ахвlediani P. N., Ераксина В. Н., Хачидзе М. М., Суворов
Н. Н. Реакция Фриделя-Крафтса в ряду пиррола | 175 |
| Долидзе А. В., Алавидзе Т. Г., Лапидус А. Л., Коданашвили
М. В. Карбонилирование C_6 — C_8 циклогексеновых углеводородов окисью
углерода | 179 |
| Чхайдзе М. Б., Аспанидзе Л. Г., Долидзе М. С. Усовершенство-
вание метода синтеза и анализ ѹодистого метила, меченного стабиль-
ным изотопом ^{13}C | 183 |

ФИЗИЧЕСКАЯ ХИМИЯ

- | | |
|---|-----|
| Алексеев П. Г., Хананашвили Л. М., Поварнин П. И., Зинов-
кина Т. В. Влияние структуры α , ω -бис(оргanoцикло силокси)-диметилси-
локсанов на их теплофизические свойства | 188 |
| Цицишвили Г. В., Хурошвили Д. В., Урушадзе М. В., Жидо-
миров Г. М., Пельменщикова А. Г., Руда Л. Г. Квантовохими-
ческое исследование структурной стабильности цеолитов. Сравнение ста-
бильности аммонийных и водородных форм цеолитов и боралитов | 196 |
| Мдивнишвили О. М., Кобахидзе Е. И., Мчедлишвили Г. С.,
Саришвили И. Г. Исследование и испытание диатомита, модифици-
рованного соляровым маслом, в качестве наполнителя полимерных ма-
териалов | 200 |

ТЕХНОЛОГИЯ

- | | |
|--|-----|
| Шахтахтинский Г. Б., Шакаров Г. А., Гейдаров А. А. Изучение ус-
ловий извлечения ценных компонентов из ретортных остатков цинкового
производства | 205 |
| Гаприндашвили В. Н., Каджая З. Ш., Рухадзе В. В., Нижар-
адзе Н. А., Отиашвили Д. Г., Берикашвили И. Г. Оптими-
зация процесса фосфата цинка | 209 |

КРАТКИЕ СООБЩЕНИЯ

- | | |
|--|-----|
| Сидамонидзе Ш. И., Коршак В. В., Цицишвили Г. В., Мату-
шевская М. П., Кудрявцев Ю. П., Марчилашвили К. М.
Исследование адсорбционных свойств карбина | 214 |
| Броучек Ф. И. Основные вопросы кинетики сорбции на модифицированных
лигандами анионитах | 216 |
| Чиракадзе Г. Г., Бохуа Д. И., Гонгадзе Н. П. Очистка водно-неф-
тяных растворов от поверхностно-активного вещества ИМФ-1 | 220 |
| Тавартиладзе Я. Н., Эристави М. К., Бережiani M. Г. Методи-
ка прогнозирования продолжительности процесса кристаллизации из
растворов | 223 |
| Мамулашвили А. М., Махатадзе Ц. Л., Цинцадзе М. Г. Координа-
ционные соединения кобальта (II) и никеля (II) с трицианметанидом и
амидами пиридинкарбоновых кислот | 226 |
| Кавтарадзе Л. К. Синтез 5α -прегн-16-ен-3 β -ол-20-она из тигогенина | 229 |
| Чивадзе Г. О., Чхейдзе Л. З. Алкилирование анилина метанолом на мо-
дифицированных синтетических цеолитах | 232 |
| Осипова Н. А. Исследование хроматографических свойств природного диато-
мита в качестве твердого носителя | 235 |
| Чиквишвили В. Б., Байрамашвили И. А., Русецкий Г. В.,
Бахчиева Ж. Р. Лабораторная установка для диффузионного соедине-
ния материалов в вакууме и горячего формования порошков | 237 |
| | 165 |

CONTENTS

INORGANIC AND ANALYTICAL CHEMISTRY

Brouche k F. I. Equilibrium and selectivity of sorption on anionates modified with ligands	173
--	-----

ORGANIC CHEMISTRY

Akhvlediani R. N., Eraksina V. N., Khachidze M. M., Suvorov N. N. Fridel-Kraft's reaction in pyrrol line	177
Dolidze A. V., Alavidze T. G., Lapidus A. L., Kodanashvili M. V. Carbonylation of $C_6 - C_8$ cyclohexene hydrocarbons by carbon monoxide	182
Chkhaidze M. B., Aspanidze L. G., Dolidze M. S. The improvement of synthesis method and the analysis of iodo-methyl labelled with isotope ^{13}C	187

PHYSICAL CHEMISTRY

Alexeev P. G., Khananashvili L. M., Povarin P. I., Zinovkina T. V. The influence of the structure of α , ω -bis (organocyclosiloxy) dimethylsiloxanes on their thermophysical properties	195
Tsitsishvili G. V., Kharoshvili D. V., Urushadze M. V., Zhidomirov G. M., Pelmenschikov A. G., Ruda L. G. Quantum chemical study of zeolite structure stability. Comparison of stability of ammonium and hydrogen forms of zeolites and boralites	199
Mdivnishvili O. M., Kobakhidze E. I., Mchedlishvili G. S., Sarishvili I. G. Studies and tests of modified with solar oil diatomite used as a filler of polymeric materials	204

TECHNOLOGY

Shakhtakhtinskiy G. B., Shakarov G. A., Geidarov A. A. Studies of the conditions of extraction of valuable components from retort remnants of zinc production	298
Gaprindashvili V. N., Kajaya Z. Sh., Rukhadze V. V., Nizharadze N. A., Otiashvili D. G. The optimization of zinc phosphate production process	304

SHORT COMMUNICATIONS

Sidamonidze Sh. I., Korshak V. V., Tsitsishvili G. V., Matusevskaya M. P., Kudriavtsev Yu. P., Marchilashvili K. M. Investigation of adsorption properties of carbin	218
Brouche k F. I. The principal problems of sorption kinetics on the modified by ligands anionites	221
Chirakadze G. G., Bochua D. I., Gongadze N. P. The purification of water-oil solutions from the capillary active substance ИМФ-1	221
Tavartkiladze Ya. N., Eristavi M. K., Berezhiani M. G. The method of prognosis of duration of cristalization process from solutions.	
Mamulashvili A. M., Makhatadze Ts. L., Tsintsadze M. G., Coordination compounds of cobalt (II) and nickel (II) with tricyanogen methanide and amides of pyridine carboxylic acids	228
Kavtaradze L. K. Synthesis of 5α -pregn-16-en- 3β -ol-20-one from tigogenin	231
Chivadze G. O., Chkhelidze L. Z. Alkilation of aniline by methanol on modified synthetic zeolites	
Osipova N. A. The investigation of chromatographic characteristics of natural diatomite as a solid-carrier	246
Chkhikvishvili V. B., Bairamashvili I. A., Rusetskiy G. V., Bakachieva I. R. An experimental set-up for vacuum diffusion bonding of materials and hot forming of powders	239

НЕОРГАНИЧЕСКАЯ И АНАЛИТИЧЕСКАЯ ХИМИЯ

УДК 543.544

Ф. И. БРОУЧЕК

РАВНОВЕСИЕ И СЕЛЕКТИВНОСТЬ СОРБЦИИ НА МОДИФИЦИРОВАННЫХ ЛИГАНДАМИ АНИОНИТАХ

Ранее нами было показано [1—3], что в хроматографических системах «ион металла — анионит, модифицированный лигандом» при осуществлении сорбции по механизму комплексообразования основными физико-химическими факторами, определяющими механизм и эффективность сорбции, влияющими на формирование первичных хроматограмм, порядок и скорость передвижения сорбционных зон и обусловливающими последующее хроматографическое разделение ионов металлов, являются константы устойчивости (K_y) комплексов, образуемых этими ионами с лигандами-модификаторами.

В данной статье излагаются основные результаты теоретического рассмотрения вопросов связи K_y сорбируемых комплексов с равновесием и селективностью сорбции ионов металлов в указанных хроматографических системах. Приводятся выведенные нами для основных комплексообразовательно-сорбционных хроматографических систем (см. [3], схемы 1—52) уравнения, выражающие функциональную связь между главными параметрами, определяющими равновесие и эффективность сорбции, и K_y сорбируемого комплекса, а также уравнения изотерм сорбции для этих систем, включающие указанные K_y .

Вывод этих уравнений основывается на концепции [1, 3] о механизме сорбции в рассматриваемых системах как химической реакции комплексообразования между сорбируемым ионом металла и лигандом-модификатором, описываемой стехиометрическим уравнением с помощью целых чисел молей и подчиняющейся закону действующих масс.

В приведенных ниже хроматографических системах и уравнениях:

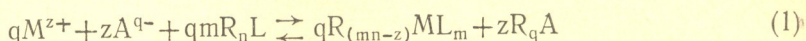
- M^{z+} — гидратированный (сольватированный) катион металла,
- R^+ — условный макрокатион полимерной матрицы анионита, компенсирующий в фазе сорбента один элементарный отрицательный заряд,
- L^{n-} — нехелатообразующий лиганд-модификатор,
- X^{m-} — хелатообразующий лиганд-модификатор,
- $L_{(1)}^{n1-}, X_1^{z-}$ — нехелатообразующий и хелатообразующий лиганда комплексов в исходном хроматографируемом растворе,
- $H_pX^{(m-p)-}$ — доминирующая протонированная форма хелатообразующего лиганда-модификатора при данном значении рН,
- K_y — константа устойчивости комплекса в фазе анионита,
- K'_y — константа устойчивости комплекса в исходном хроматографируемом растворе.

$C_{L(R)}$ — концентрация лиганда-модификатора в фазе сорбента, m, m_1, n, n_1, p, q, z — стехиометрические коэффициенты и соответствующие им индексы в уравнениях.

Все перечисленные выше константы и коэффициенты распределения—концентрационные, а концентрации—равновесные.

Уравнения изотерм сорбции приведены в общих формах $Q_i = f(K_y)$ для иона i -го металла при сорбции смеси ионов N металлов.

1. Хроматографическая система $M^{z+} — R_n L$ ([3], схема 1)



$$K_{\text{равн}} = K_y^q \cdot K_{PA}^z \quad (2)$$

$$K_{PM} = K_y \cdot K_{PA}^{z/q} \cdot Q_A^{-z/q} \cdot C_A^{z/q} \cdot C_{L(R)}^m \quad (3)$$

$$Q_M = K_y \cdot K_{PA}^{z/q} \cdot Q_A^{-z/q} \cdot C_{L(R)}^m \cdot K_{\text{диссМА}}^{1/q} \cdot C_{MA}^{1/q} \quad (4)$$

$$Q_i = Q_{\max} \cdot \frac{K_{yi}^{qi} \cdot C_i}{1 + \sum_{i=1}^{i=N} K_{yi}^{qi} \cdot C_i} \quad (5)$$

2. Хроматографическая система $M^{z+} — R_m X$ ([3], схема 3)



Зависимость $K_{\text{равн}} = f(K_y)$ аналогична системе $M^{z+} — R_n L$ и описывается уравнением (2).

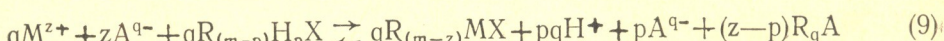
$$K_{PM} = K_y \cdot K_{PA}^{z/q} \cdot Q_A^{-z/q} \cdot C_A^{z/q} \cdot C_{L(R)} \quad (7)$$

$$Q_M = K_y \cdot K_{PA}^{z/q} \cdot Q_A^{-z/q} \cdot C_{L(R)} \cdot K_{\text{диссМА}}^{1/q} \cdot C_{MA}^{1/q} \quad (8)$$

Уравнение изотермы сорбции аналогично уравнению (5) для системы $M^{z+} — R_n L$.

3. Хроматографическая система $M^{z+} — R_{(m-p)} H_p X$ ([3], схемы 4,5)

В соответствии со схемой 4:



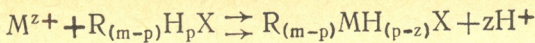
$$K_{\text{равн}} = K_y^q \cdot K_{\text{дисс}H_p L}^q \cdot K_{PA}^{(z-p)} \quad (10)$$

$$K_{PM} = K_y \cdot K_{\text{дисс}H_p L} \cdot C_H^{-P} \cdot C_{L(R)} \quad (11)$$

$$Q_M = K_y \cdot K_{\text{дисс}H_p L} \cdot C_M \cdot C_H^{-P} \cdot C_{L(R)} \quad (12)$$

$$Q_i = Q_{\max} \cdot \frac{K_{yi}^{qi} \cdot K_{\text{дисс}H_p L}^{qi} \cdot C_H^{-pq i} \cdot C_i}{1 + \sum_{i=1}^{i=N} K_{yi}^{qi} \cdot K_{\text{дисс}H_p L}^{qi} \cdot C_H^{-pq i} \cdot C_i} \quad (13)$$

В соответствии со схемой 5:



$$K_{\text{равн}} = K_y \cdot K_{\text{дисс}(Z)H_pL}$$

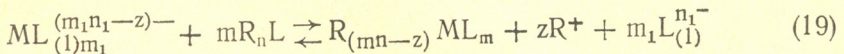
(15)

$$K_{PM} = K_y \cdot K_{\text{дисс}(Z)H_pL} \cdot C_{L(R)} \cdot C_H^{-z}$$

$$Q_M = K_y \cdot K_{\text{дисс}(Z)H_pL} \cdot C_M \cdot C_{L(R)} \cdot C_H^{-z}$$

$$Q_i = Q_{\max} \cdot \frac{K_{yi} \cdot K_{\text{дисс}(zi)H_pL} \cdot C_H^{-zi} \cdot C_i}{1 + \sum_{i=1}^N K_{yi} \cdot K_{\text{дисс}(zi)H_pL} \cdot C_H^{-zi} \cdot C_i}$$

4. Хроматографическая система $ML_{(1)m_1}^{(m_1n_1-z)-} - R_nL$ ([3], схема 18)



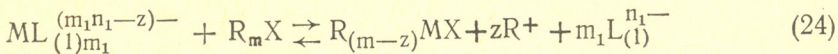
$$K_{\text{равн}} = K_y \cdot (K'_y)^{-1} \cdot K_{\text{дисс}RML}^{-1} \cdot K_{pML}^{-1} \cdot K_{\text{дисс}RL}^m \cdot K_{PL}^m$$

$$K_{PM} = K_y \cdot (K'_y)^{-1} \cdot C_{L(R)}^m \cdot C_{L(1)}^{-m_1}$$

$$Q_M = K_y \cdot (K'_y)^{-1} \cdot C_M \cdot C_{L(R)}^m \cdot C_{L(1)}^{-m_1}$$

$$Q_i = Q_{\max} \cdot \frac{K_{yi} \cdot (K'_y)^{-1} \cdot C_{L(i)}^{-m_i} \cdot C_i}{1 + \sum_{i=1}^N K_{yi} \cdot (K'_y)^{-1} \cdot C_{L(i)}^{-m_i} \cdot C_i}$$

5. Хроматографическая система $ML_{(1)m_1}^{(m_1n_1-z)-} - R_mX$ ([3], схема 24)



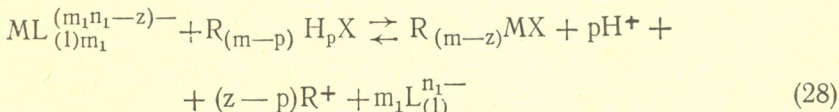
$$K_{\text{равн}} = K_y \cdot (K'_y)^{-1} \cdot K_{\text{дисс}RML}^{-1} \cdot K_{pML}^{-1} \cdot K_{\text{дисс}RL} \cdot K_{PL}$$

$$K_{PM} = K_y \cdot (K'_y)^{-1} \cdot C_{L(R)}^m \cdot C_{L(1)}^{-m_1}$$

$$Q_M = K_y \cdot (K'_y)^{-1} \cdot C_M \cdot C_{L(R)}^m \cdot C_{L(1)}^{-m_1}$$

Уравнение изотермы сорбции аналогично уравнению (23).

6. Хроматографическая система $ML_{(1)m_1}^{(mn-z)-} - R_{(m-p)}H_pX$ ([3], схема 22)



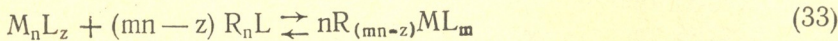
$$K_{\text{равн}} = K_y \cdot (K'_y)^{-1} \cdot K_{\text{дисс}H_pL} \cdot K_{\text{дисс}RL} \cdot K_{PL} \cdot K_{\text{дисс}RML}^{-1} \cdot K_{pML}^{-1}$$

$$K_{PM} = K_y \cdot (K'_y)^{-1} \cdot K_{\text{дисс}H_pL} \cdot C_{L(R)} \cdot C_H^{-P} \cdot C_{L(1)}^{-m_1}$$

$$Q_M = K_y \left(K'_y \right)^{-1} \cdot K_{\text{дисс} H_p L} \cdot C_M \cdot C_{L(R)} \cdot C_H^{-P} \cdot C_{L(I)}^{-m_1} \quad (31)$$

$$Q_i = Q_{\max} \cdot \frac{K_{yi} \left(K'_{yi} \right)^{-1} \cdot C_{L(i)}^{-m_i} \cdot C_H^{-P} \cdot C_i}{1 + \sum_{i=1}^N K_{yi} \left(K'_{yi} \right)^{-1} \cdot C_{L(i)}^{-m_i} \cdot C_H^{-P} \cdot C_i} \quad (32)$$

7. Хроматографическая система $M_n L_z - R_n L$ ([3], схема 45)



$$K_{\text{равн}} = K_y^n \quad (34)$$

$$K_{PM} = K_y \cdot C_L^{z/n} \cdot C_{L(R)}^{(mn-z)/n} \quad (35)$$

$$Q_M = K_y \cdot C_M \cdot C_L^{z/n} \cdot C_{L(R)}^{(mn-z)/n} \quad (36)$$

$$Q_i = Q_{\max} \cdot \frac{K_{yi}^{ni} \cdot C_i}{1 + \sum_{i=1}^N K_{yi}^{ni} \cdot C_i} \quad (37)$$

8. Хроматографические системы $M_n L_{(1)z} - R_m X$; $(MX_1)^o - R_m X$ и $(MX_1)^o - R_n L$ ([3], схемы 47,49,51).



$$K_{\text{равн}} = K_y \quad (41)$$

$$K_{PM} = K_y \cdot C_{L(R)} \quad (42)$$

$$Q_M = K_y \cdot C_M \cdot C_{L(R)} \quad (43)$$

$$Q_i = Q_{\max} \cdot \frac{K_{yi} \cdot C_i}{1 + \sum_{i=1}^N K_{yi} \cdot C_i} \quad (44)$$

Как видно из представленных выше уравнений, основные физико-химические параметры равновесия сорбции в рассмотренных хроматографических системах связаны с K_y явными функциональными зависимостями, характер которых свидетельствует о главенствующем влиянии K_y на равновесие комплексообразовательной сорбции ионов металлов на модифицированных лигандами анионитах.

Уравнения изотерм сорбции для всех рассмотренных выше хроматографических систем в первом приближении представляют собой уравнения типа Ленгмюра.

Одним из основных факторов, обусловливающих возможность и эффективность хроматографического разделения, является селектив-

В жидкостной колоночной хроматографии относительная селективность сорбции обычно количественно характеризуется величиной соотношения экспериментально определяемых коэффициентов распределения (K_p) компонентов хроматографируемой смеси [4—9]. Такой метод оценки селективности сорбции имеет лишь определенную практическую ценность, так как K_p зависит от физико-химических свойств сорбируемого вещества, неподвижной и подвижной фаз, а также от их относительных количеств и, следовательно, не может рассматриваться как физико-химическая константа, позволяющая теоретически оценивать и прогнозировать селективность сорбции и эффективность разделения в конкретной хроматографической системе.

Для количественной теоретической характеристики относительной селективности комплексообразовательной сорбции в хроматографических системах «ион металла-анионит, модифицированный лигандом» на- ми вводится понятие «фактор селективности» — F_s .

$$F_s = \lg \frac{K_{yi}}{K_{yj}}, \quad (45)$$

где $K_{yi} \geq K_{yj} \geq 0$.

В выражении (45): K_{yi} — константа устойчивости комплекса i -го металла с лигандом-модификатором, K_{yj} — константа устойчивости иона j -го металла с тем же лигандом при комплексообразовательной сорбции смеси ионов N металлов на анионите, модифицированном данным лигандом.

Величины K_y комплексов металлов со многими лигандами в растворах известны и представляют собой физико-химические константы. Поэтому F_s можно также считать физико-химической константой, характеризующей конкретную хроматографическую систему с комплексообразовательным механизмом сорбции.

При $F_s > 0$ данная хроматографическая система селективна по отношению к ионам i -го металла.

Селективность сорбции и эффективность разделения как на стадии сорбции и формирования первичной хроматограммы, так и на стадии элюирования в таких системах возрастает симбатно росту величины F_s , особенно при значениях $F_s \gg 1$.

При $F_s = 0$ данная хроматографическая система не селективна по отношению к ионам i -го и j -го металлов при их совместной сорбции.

Разделение ионов этих металлов на стадии сорбции и формирования первичной хроматограммы не имеет места. Оно может быть осуществлено только на стадии элюирования.

При $F_s = \infty$ данная хроматографическая система абсолютно селективна (специфична) по отношению к ионам i -го металла. Ионы j -го металла в данной системе практически не сорбируются. При этом полное разделение ионов i -го и j -го металлов происходит уже на стадии сорбции в хроматографической колонке, из которой затем элюирование ионов j -го металла может быть осуществлено чистым растворителем.

Приведенные выше уравнения, выражающие функциональные зависимости $K_{\text{равн}} = f(K_y)$, $K_{PM} = f(K_y)$, $Q_M = f(K_y)$, а также установленные ранее [1,2] зависимости $h = f(K_y)$ и $V = f(K_y)$ (где h — распределительное отношение, V — скорость движения зоны сорбции) позволили нам при про-

чих равных условиях установить следующую связь между F_s и соотношениями этих параметров для ионов i-го и j-го металлов в заданной комплексообразовательно-сорбционной хроматографической системе:

$$F_s = \lg \frac{K_{\text{равн}i}}{K_{\text{равн}j}} = \lg \frac{K_{PMi}}{K_{PMj}} = \lg \frac{Q_{Mi}}{Q_{Mj}} = \lg \frac{h_j}{h_i} = \lg \frac{V_j}{V_i} \quad (46)$$

Из выражений (45) и (46) следует, что F_s можно рассматривать, как константу, характеризующую селективность, равновесие и динамику сорбции и десорбции смесей ионов металлов на анионитах, модифицированных лигандами, и позволяющую производить теоретически обоснованный целенаправленный выбор конкретных комплексообразовательно-сорбционных хроматографических систем для разработки новых аналитических методов разделения и концентрирования ионов металлов при анализе сложных объектов.

Грузинский политехнический
институт им. В. И. Ленина

Поступило 20.02.1983

ფ. ბრუშეკი

სორცის თონასორობა და სელექტურობა ლიგანდებით მოდიფიცირებულ
ანიონითებით

რეზიუმე

ლიგანდებით მოდიფიცირებულ ანიონიტებზე შეტაღთა იონების კომპლექსურმომქმნელი სორცის მექანიზმის წინათ შემუშავებული ძირითადი სქემებისათვის გამოყვანილია სორცის იზოთერმის განტოლებები, რომლებიც პირველ მიახლოებაში წარმოადგენენ ლენგმიურის ტიპის განტოლებებს.

გამოყვანილია განტოლებები, რომლებიც გამოსახავენ ფუნქციონალურ დამკიდებულებას სორცის წონასწორობისა და ეფექტურობის განმსაზღვრავ პარამეტრებსა და სორბირებული კომპლექსის მდგრადობის კონსტანტას შორის.

მოწოდებულია ფიზიკურ-ქიმიური კონსტანტა-სელექტურობის ფაქტორი, რომელიც იძლევა საშუალებას კონკრეტულ კომპლექსურმომქმნელ-სორციულ ქრომატოგრაფიულ სისტემებში მეტალთა იონების ნარევების გაყოფის ეფექტურობის რაოდენობრივ შეფასებას და თეორიულად დასაბუთებულ პროგნზირებას და აგრეთვე ამ სისტემების მიზანდასახულ შერჩევას.

F. I. BROUCHEK

EQUILIBRIUM AND SELECTIVITY OF SORPTION ON ANIONATES MODIFIED WITH LIGANDS

Summary

The equations of sorption isotherm, in the first approximation being the equations of the Langmuir type, were deduced for previously developed main schemes of the mechanism of complexing sorption of metal ions on anionates modified with ligands.

The equations establishing the functional dependence between the main parameters, determining the equilibrium and efficiency of sorption and the constant of stability of the sorbed complex, have been derived.

A phisico-chemical constant, the factor of selectivity, is suggested, the latter permits to estimate quantitatively and predict on the theoretical grounds the efficiency of separation of mixtures of metal ions in the certain complex forming — sorption chromatographic systems and to make purposeful choice of these systems.

ЛІТЕРАТУРА — REFERENCES

1. Броучек Ф. И. Известия АН ГССР, серия химическая, 1976, т. 2, № 4, 295
2. Броучек Ф. И. Известия АН ГССР, серия химическая, 1977, т. 3, № 2, 103
3. Броучек Ф. И. Известия АН ГССР, серия химическая, 1984, т. 10, № 1, 20
4. Гриссбах Р. Теория и практика ионного обмена. М., ИЛ, 1963, с. 158—160
5. Самсонов Г. В., Тростянская Е. Б., Елькин Г. Э. Ионный обмен. Сорбция органических веществ, Л., изд. «Наука», 1969, с. 172, 179—183
6. Кокотов Ю. А., Пасечник В. А. Равновесие и кинетика ионного обмена, Л., изд. «Химия», 1970, с. 90—92
7. Набиванец Б. И., Мазуренко Е. А. Хроматографический анализ, Киев, Вища школа, 1979, с. 176—178
8. Саллададзе К. М., Копылова-Валова В. Д. Комплексообразующие ионы (комплекситы), М., изд. «Химия», 1980, с. 116.
9. Сениявин М. М. Ионный обмен в технологии и анализе неорганических веществ, М., изд. «Химия», 1980, с. 122

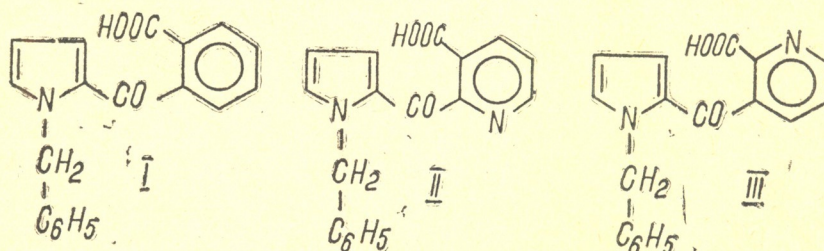
ОРГАНИЧЕСКАЯ ХИМИЯ

УДК 547.759.31665.07 : 543.422

Р. Н. АХВЛЕДИАНИ, В. Н. ЕРАКСИНА, М. М. ХАЧИДЗЕ, Н. Н. СУВОРОВ

РЕАКЦИЯ ФРИДЕЛЯ-КРАФТСА В РЯДУ ПИРРОЛА

Ранее [1] было показано, что реакция Гриньара с ангидридами двухосновных кислот дает возможность с достаточно высокими выходами получать кетокислоты пиррольного ряда. Однако получить таким путем пирролилкетопиридинкарбоновые кислоты, используя хинолиновый ангидрид, нам не удалось. Поэтому мы обратились к реакции Фриделя-Крафтса, выбрав в качестве исходного соединения N-бензилпиррол [2]. Из литературы известно, что хинолиновый ангидрид ацилирует ароматические углеводороды в присутствии хлористого алюминия [3, 4]. Использование же пиррола и его гомологов в реакции Фриделя-Крафтса сильно ограничено его ацидофобностью. Учитывая это, мы проводили реакцию под действием хлористого алюминия или хлорного олова в хлористом метилене при -60 — 40° . Помимо хинолинового ангидрида в реакцию вводили и фталевый ангидрид. Установлено, что во всех случаях реакция приходит со значительным осмолением, с образованием сложной смеси продуктов пиррольного характера. С наилучшим выходом (33%) была получена 2-N-бензилпирролил-2/кетобензойная кислота (1), структура которой была подтверждена сравнением ее характеристик с характеристиками заведомого образца [1] (ИК, ПМР).



Взаимодействие N-бензилпиррола с хинолиновым ангидридом также протекает с сильным осмолением и дает плохо воспроизводимые результаты, что в значительной степени связано с трудностью выделения конечных продуктов. С помощью колоночной хроматографии на силикагеле удалось выделить (помимо никотиновой и никотиновой кислот) два продукта кислого характера (соединения II и III, суммарный выход 5—7%). Оба соединения имеют по две полосы в области колебаний карбонильной группы: для соединения II — 1710 и 1650 cm^{-1} , для соединения III — 1720 и 1642 cm^{-1} , УФ-спектры незначительно отличаются друг от друга. Отнесение этих соединений к производным кетоникотиновой или кетопикотиновой кислот мы провели

—65° смесь 1,42 г N-бензилпиррола (0,01 мол), 1,48 г (0,01 мол) хинолинового ангидрида и 3,5 г хлористого алюминия в 40 мл сухого хлористого метиlena. После разложения водный раствор насыщают NaCl, экстрагируют эфиром, объединенные органические вытяжки промывают раствором соды. Содовый раствор фильтруют и подкисляют, после чего снова экстрагируют эфиром. Эфирный раствор сушат MgSO₄, отгоняют растворитель, получают 0,5 г пенообразного вещества, из которого методом колоночной хроматографии на силикагеле элюируют смесь эфир-петролейный эфир (1:1) выделяют 0,15 г II; т. пл. 175° (из водного метанола). ИК-спектр, ν (вазелиновое масло): 1710, 1650 см⁻¹. УФ-спектр (в этаноле): $\lambda_{\text{макс}} \text{ нм (lgE)}$: 204 (4,68), 291 (3,54). Найдено: C—70,83; H—4,39; N—9,00 %. C₁₈H₁₄N₂O₃. Вычислено: C—70,60; H—4,60; N—9,15 %.

Последующее элюирование эфиром дает соединение III; т. пл. 102°. ИК-спектр, ν (вазелиновое масло): 1720, 1642 см⁻¹; УФ-спектр (в этаноле): 205 (4,52), 293 (3,42).

β-БЕНЗОИЛПИКОЛИНОВАЯ КИСЛОТА (IV). Нагревают в течение 2 часов суспензию 1,5 г хинолинового ангидрида, 5 г хлористого алюминия в 300 мл абс. бензола. Реакционную массу разлагают водой с соляной кислотой при нагревании до полного растворения осадка, после чего насыщают водный раствор NaCl и экстрагируют этилацетатом. Органический слой высушивают MgSO₄, отгоняют растворители до небольшого объема, к осадку прибавляют петролейный эфир. Отделяют выпавший осадок — 0,9 г (42%), т. пл. 148°, ИК-спектр (CHCl₃): 1770, 1680 см⁻¹, оксим, т. пл. 141—143° (водный этанол), ИК-спектр: 3160, 1630 см⁻¹.

Институт физической и
органической химии
им. П. Г. Меликишивили АН ГССР

Поступило 20.08.1983

რ. ახვლედიანი, ვ. ერაკსინა, მ. ხაჩიძე, ნ. სუვოროვა

ცნობელ-კრაფტის რეაცია პიროლის რიგში

რეზიუმე

ნაჩვენებია პიროლის რიგის კეტომჟავების მიღების შესაძლებლობა N-ბენზილპიროლის ურთიერთქმედებით ფტალისა და ქინოლინის ანტიდრიდებზე ფრიდელ-კრაფტსის რეაქციის პირობებში. ქინოლინის ანტიდრიდის შემთხვევაში რეაქციის შედეგად წარმოიქმნება 2-(N-ბენზილპიროლილ-2)-კეტონიკოტინის და 2-(N-ბენზილპიროლილ-2)-კეტოპიკოლინის მჟავების ნარევი ჭამური გამოსავლით 5—7 %. მიღებული ნაერთების ღრავა დაღასტურებულია მათი პიროტონულ-მაგნიტური რეზონანსის სპექტრების შეპირისპირებით N-ბენზოლპიროლინის მჟავის პმრ სპექტრთან.

R. N. AKHVLEDIANI, V. N. ERAKSINA, M. M. KHACHIDZE, N. N. SUVOROVA

FRIDEL-KRAFT'S REACTION IN PYRROL LINE

Summary

The ability to obtain keto-acids of pyrrol line by means of Fridel-Kraft's reaction of N-benzylpyrrol, with phthalic and chinoline (III) anhydrides, is shown.

УДК 547.514.4

А. В. ДОЛИДЗЕ, Т. Г. АЛАВИДЗЕ, А. Л. ЛАПИДУС, М. В. КОДАНАШВИЛИ

КАРБОНИЛИРОВАНИЕ C_6-C_8 ЦИКЛОГЕКСЕНОВЫХ УГЛЕВОДОРОДОВ ОКИСЬЮ УГЛЕРОДА

17.837
Одним из способов использования оксидов углерода является получение на их основе кислородсодержащих органических соединений, применяемых в разных областях народного хозяйства. Заинтересованность этим методом обусловливается возможностью получения C_6-C_8 циклических олефинов из доступного исходного сырья [1], а также потребностью получения синтетических циклокарбоновых кислот для разностороннего применения [2, 3]. Однако в литературе мало работ по катализитическому карбонилированию циклических олефинов окисью углерода.

Нами изучена реакция карбонилирования индивидуальных циклогексеновых углеводородов C_6-C_8 в присутствии трифенилfosфинового комплекса палладия под давлением окиси углерода.

Исходные циклоолефины — циклогексен, 1-метилциклогексен-1, 1-этанциклогексен-1 и 1,4-диметилциклогексен-1 были получены из соответствующих циклических спиртов путем дегидратации по известной методике [4]. Палладиевый комплекс $Pd(PPh_3)_2Cl_2$ приготовлен по методике [5].

Карбонилирование циклических олефинов проводили в стальном вращающемся автоклаве (объемом 150 см³) со стеклянным вкладышем. Состав реакционной смеси: 0,05 М циклоолефина, 4,5 мл воды, 3,0 мл уксусной кислоты, 1,0 мл 40%-ного раствора НЖ и 0,1 ммоль катализатора. Продукты реакции анализировали методом ГЖХ. Основными продуктами реакции карбонилирования явились циклогексанкарбоновые кислоты. Наряду с кислотами образуются циклические спирты, вследствие частичной гидратации соответствующих циклических олефинов.

Влияние условий проведения реакций карбонилирования циклогексена, 1-метилциклогексена-1, 1-этанциклогексена-1 и 1,4-диметилциклогексена-1 можно проследить на рис. 1—3.

Из рис. 1 видно, что при повышении начального давления окиси углерода от 50 до 150 атм и температуре 150° в течение 4 часов, конверсия циклоолефинов возрастает от 68 до 99%. Селективность превращения циклоолефинов в соответствующие циклогексанкарбоновые кислоты с повышением давления окиси углерода также возрастает и достигает максимума 95—99% (при 100 атм). Дальнейшее повышение давления до 150 атм мало влияет на реакцию карбонилирования. При низких давлениях СО (50—75 атм) наблюдается побочный процесс — реакция гидратации циклоолефинов, однако повышение селективности при высоких давлениях можно объяснить дальнейшим карбонилированием образовавшихся спиртов в карбоновые кислоты. Таким образом, оптимальным давлением СО для реакции карбонилирования цикло-

гексеновых углеводородов C_6-C_8 являются 100 атм, так как дальнейшее повышение давления не влияет на конверсию и селективность превращения циклоолефинов.

Влияние температуры реакции изучено при давлении CO 100 атм в течение 4 часов. Изменение температуры проведения реакции карбонилирования от 100 до 200° показано на рис. 2. При 100° конверсия циклогексеновых углеводородов достигает 40—51%, а при 150° достигает максимума 85—99%. При более высоких температурах конверсия снижается до 78—85%. По-видимому, при 200° циклоолефины частично переходят в газообразное состояние. Повышение температуры реакции значительно влияет на процесс образования циклогексанкарбоновых кислот. При низких температурах 100—150° селективность получения циклокислот практически не меняется, а с повышением температуры до 175—200° резко падает вследствие образования продуктов реакции гидратации циклоолефинов.

При оптимальной температуре 150° и давлении окиси углерода 100 атм изучено влияние длительности проведения реакции на конверсию и селективность превращения циклогексеновых углеводородов (рис. 3). С увеличением времени реакции от 1 до 4 часов конверсия циклогексена изменяется от 75 до 99% при селективности получения циклогексанкарбоновой кислоты 96—99%. После 4 часов реакции конверсия циклогексена достигает максимума 99%. Для алкилциклогексеновых углеводородов максимальная конверсия достигается после 5 часов проведения реакции — 94—96%, при селективности получения алкилциклогексанкарбоновых кислот — 93—96%.

Таким образом, выявлены оптимальные условия для реакции карбонилирования циклогексеновых углеводородов C_6-C_8 : температура

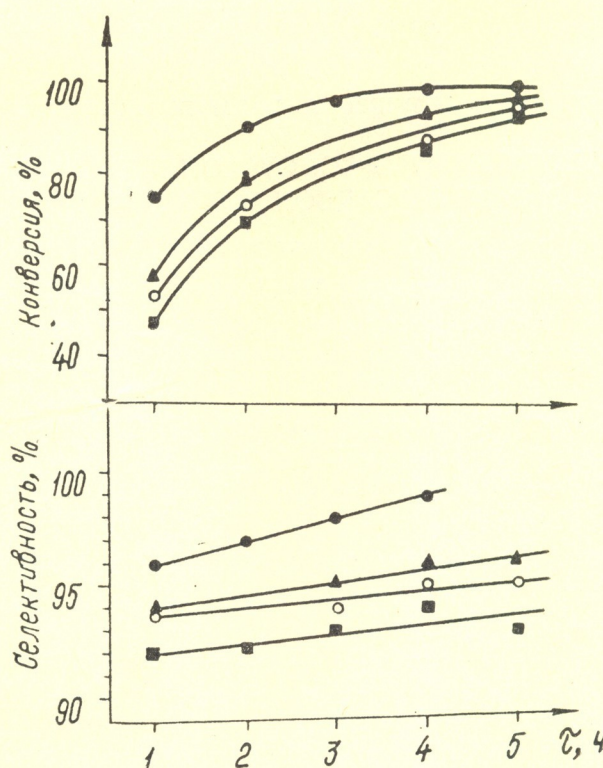


Рис. 3. Влияние длительности реакции на конверсию и селективность превращения циклоолефинов

150°, давление СО 100 атм, время реакции для циклогексена 4 ч, для алкилциклогексенов 5 ч, мольное отношение катализатор-циклоолеин:фин:вода:уксусная кислота равно 1:500:2500:250. При этом конверсия циклоолефинов достигает 93—99%, а селективность получения C₇—C₉ циклогексанкарбоновых кислот — 93—99%.

Институт физической и органической
химии им. П. Г. Меликишвили АН ГССР
Институт органической химии
им. Н. Д. Зелинского АН СССР

Поступило 03.11.1983

А. ДОЛИДЗЕ, Т. АЛАВИДЗЕ, А. ЛАПИДУС, М. КОДАНАШВИЛИ

C₆—C₈ ЦИКЛОХЕКСЕНЫ ВОДНОУГЛЕВОДНЫЕ РЕАКЦИИ С КАРБОНОНОКСИДОМ В АЦЕТИЧЕСКОМ РЕАКТОРЕ

РУЧНОЕ

Шестивалентный цианогенхлорид, 1-метилциклохексен-1, 1-этилциклохексен-1 и 1,4-диметилциклохексен-1 в присутствии комплекса палладия (II) трифенилfosfin в уксусной кислоте селективно дают циклогексанкарбоновую кислоту в 93—99% выходе.

На основе C₆—C₈ цианогенхлоридов на водном растворе карбоноксида получены циклогексанкарбоновую кислоту в 93—99% выходе, трифенилfosfin в 100 мольном соотношении, температура 150°, время реакции 4 часа, давление CO 100 атм, соотношение катализатора-циклоолеина-воды:уксусной кислоты 1:500:2500:250. При этом конверсия циклоолефинов достигает 93—99%, а селективность получения C₇—C₉ циклогексанкарбоновых кислот — 93—99%.

A. V. DOLIDZE, T. G. ALAVIDZE, A. L. LAPIDUS, M. V. KODANASHVILI

CARBONYLATION OF C₆—C₈ CYCLOHEXENE HYDROCARBONS BY CARBON MONOXIDE

Summary

Carbonylation of cyclohexene, 1-methylcyclohexene-1, 1-ethylcyclohexene-1 and 1,4-dimethylcyclohexene-1 under influence of carbon monoxide in the presence of triphenylphosphinous complex of palladium (II) in acetic acid medium has been studied.

The optimal conditions for carbonylation of C₆—C₈ cyclohexene hydrocarbons are found: the temperature—150°C; the pressure of CO 100 atm; the reaction time for cyclohexene—4 h., for alkylcyclohexenes—5 h., mole ratio catalyst: cycloolefine: water:acetic acid is 1:500:2500:250. At the same time the conversion of cycloolefines reaches 93—99%; and selectivity of obtaining C₇—C₉ cyclohexanecarboxylic acid—93—99%.

ЛИТЕРАТУРА — REFERENCES

1. Коданашвили М. В. Кандидатская диссертация, Тбилиси, 1983.
2. Намёткин Н. С., Егорова Г. М., Хамаев В. Х. Нафтеновые кислоты и продукты их химической переработки, М., изд. «Химия», 1982.
3. Рыбак Б. М. Нафтеновые кислоты, М., Гостоптехиздат, 1948.
4. Платэ А. Ф., Мельников А. А. ЖОХ, 1959, 29, № 4, 2032.
5. Malatesta L. and Angoletta M. J. Chem. Soc., 1957, 1186

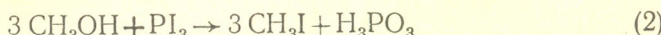
УДК 547.07.543.544.25

М. Б. ЧХАИДЗЕ, Л. Г. АСПАНИДЗЕ, М. С. ДОЛИДЗЕ

УСОВЕРШЕНСТВОВАНИЕ МЕТОДА СИНТЕЗА И АНАЛИЗ ЙОДИСТОГО МЕТИЛА, МЕЧЕННОГО СТАБИЛЬНЫМ ИЗОТОПОМ ^{13}C .

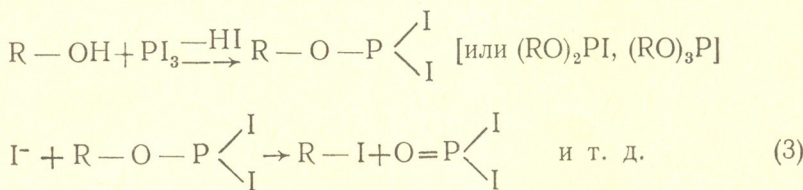
Йодистый метил является одним из наиболее реакционноспособных органических соединений, в связи с чем он находит широкое применение при синтезе меченых соединений. Возрастающая в настоящее время потребность в иодистом метиле, меченном изотопом ^{13}C , вызвала необходимость разработки эффективного и экономически выгодного метода его синтеза.

Из известных в отечественной и иностранной литературе способов получения иодистого метила наиболее удобным с точки зрения наличия исходных меченых реагентов и простоты реакции является способ получения его из метилового спирта, йода и красного фосфора по реакциям:



В виду того, что выход основного продукта зависит от оптимально выбранных параметров, нами была поставлена задача исследовать возможные побочные процессы, протекающие одновременно с основной реакцией.

Механизм этой реакции еще не установлен, однако, предполагается, что в качестве промежуточного продукта образуется сложный эфир, который только во второй стадии реагирует с галогенид-ионом:



При этом иод-ион реагирует с эфиром с «тыльной» стороны, и происходит обращение конфигурации (Вальденовское обращение) [1].

Таким образом, первым продуктом реакции являются средние эфиры фосфорной кислоты, которые вследствие присутствия большого количества HI, что видно по реакции (3), превращаются в кислые эфиры и далее переходят в двухкислые. Этим переходам способствует нагрев продуктов реакции.

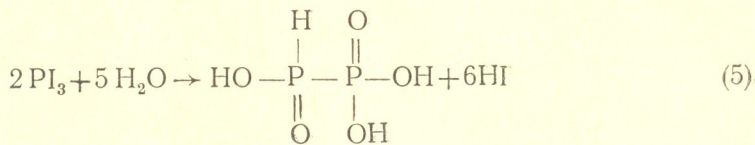
Исходя из предполагаемого механизма реакции, нами были установлены все возможные процессы в условиях синтеза:

1) Трийодид фосфора легко подвергается гидролизу



Трийодид фосфора в процессе гидролиза легко подвергается самоокислению с образованием твердого желтого вещества (P_2H).

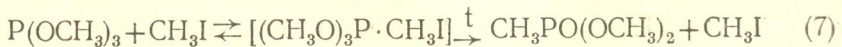
2) При гидролизе трийодида может образоваться и дифосфористая кислота — $H_4P_2O_5$



3) Третичные эфиры фосфористой кислоты энергично реагируют с водой:

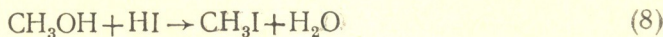


4) Третичные эфиры фосфористой кислоты при наличии незначительных количеств CH_3I подвергаются перегруппировке Михаэлиса—Арбузова:



Промежуточный комплекс легко разлагается водой с образованием CH_3OH , HI и $CH_3PO(OCH_3)_2$

5) Получаемый HI легко вступает в реакцию с метиловым спиртом:



6) При реакции спирта с избытком PI_3 образуется главным образом дийодфосфит CH_3OPl_2 .

После анализа всех возможных процессов, протекающих в условиях данной реакции, пришли к заключению:

1) Использование избытка PI_3 исключается в связи с образованием в этих условиях дийодфосфита CH_3OPl_2 и, следовательно, снижением выхода целевого продукта.

2) Как видно из вышеприведенных реакций, фосфор может связываться в процессе синтеза в виде H_3PO_3 , $H_4P_2O_5$, P_2H . Следовательно, фосфор необходимо брать в избытке с учетом возможных побочных процессов, выводящих его из сферы реакции, что снижает выход целевого продукта.

3) При избытке фосфора вода не влияет на выход продукта.

Исходя из выше сказанного нами были установлены оптимальные соотношения исходных реагентов, температурный режим реакции, разработан прибор, дающий возможность легко контролировать и регулировать процесс, а также предотвращающий потери легколетучего продукта.

В результате установленного режима выход продукта в пересчете на метанол повысился на 25% по сравнению с известным методом синтеза [2]. Анализы показали, что продукт получается высокой степени чистоты и не требует дополнительной очистки, связанной с большими потерями.

Помещенный в реакционную колбу 1 красный фосфор заливается (до полного его покрытия) частью отмеренного для синтеза метанола, остальная часть спирта заливается в объем 2 с кристаллическим йодом. Верхний холодильник 5 охлаждается смесью: спирт—жидкий азот (температура $-20^{\circ} \text{--} 40^{\circ}$).

После нагревания воды в бане до $70\text{--}75^{\circ}\text{C}$ через кран начинается медленная подача раствора йода в метаноле. По ходу реакции температура в бане понижается до 55° . После растворения йода, смесь еще в течение $0,5\text{--}1$ часа циркулирует в установке, и затем продукт собирается в резервуаре 3. Полученный йодистый метил не требует дополнительной очистки.

В методике анализа, описанный в работе [3], не предусмотрен контроль содержания метилового спирта. По регламенту получения иодистого метила массовая доля основного вещества в конечном продукте должна быть не менее 96%, поэтому нами были составлены модельные смеси иодистого метила с различным содержанием метанола и уточнены условия определения метанола в иодистом метиле методом газо-адсорбционной хроматографии. Результаты представлены в таблице 1.

Как видно из таблицы, экспериментально полученные данные содержания метилового спирта совпадают с расчетными.

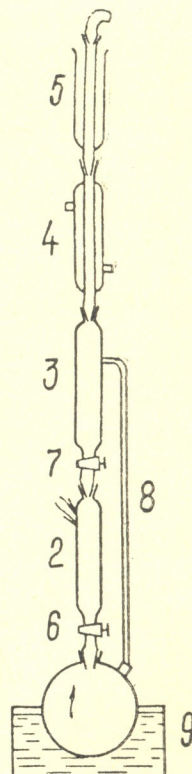
Анализ был проведен на отечественном хроматографе «Цвет—4—67».

Таблица 1

Результаты анализа модельных смесей на содержание иодистого метила и метилового спирта

Взято		Найдено, %			
CH ₃ I, %	CH ₃ OH, %	CH ₃ I, %	относит. ошибка, %	CH ₃ OH, %	относит. ошибка, %
99,0	1,0	98,97	0,0003	1,21	0,21
97,0	3,0	97,116	0,00119	2,9	0,033
96,0	4,0	96,10	0,00104	3,9	0,025
95,0	5,0	95,22	0,00231	4,9	0,02

Рис. 1. Прибор для получения иодистого метила: 1 — реакционная колба; 2 — делительная воронка; 3 — резервуар для конденсата; 4 — водяной холодильник; 5 — охлаждающее устройство; 6,7 — краны; 8 — соединяющая трубка; 9 — водяная баня



Были установлены следующие условия для определения основного вещества и примесей:

— адсорбент-полисорб-1;

სვეტის სიგრძე — 2 მ, დიამეტრი — 3 მმ, სვეტის ტემპერატურა — 70°. ამაორთქლებლის ტემპერატურა — 120°, გაზ-გაღამტანის (ჰელიუმის) სიჩქარე — 50 მლ./წთ-ში, დეტექტორის (კატარომეტრის) დენი — 200 მა. მეთოდის გრძნობიარობა თითოეული კომპონენტის მიმართ არის 0,01 %. ფარდობითი სტანდარტული ცდომილება არ აღემატება 0,16 %.

M. B. CHKHAIDZE, L. G. ASPANIDZE, M. S. DOLIDZE

THE IMPROVEMENT OF SYNTHESIS METHOD AND THE ANALYSIS OF IODO-METHYL LABELLED WITH STABLE ISOTOPE ^{13}C .

Summary

The method of obtaining of iodo-methyl from labelled methyl alcohol, iodine and red phosphorus is described.

All possible by-processes, following the main reaction were investigated.

The optimal ratio of the initial reagents and the temperature regime of the reaction, were established on the base of investigated data, and the set for regulating and controll of the process was worked out. It prevents the lack of the easy volatile products.

The yield of the product, accounting methanol increased by 25% in comparison with the known method.

The optimal conditions for determination of the main product and methanol in iodo-methyl by gas-adsorption-chromatography method were established.

These are: the adsorbent—Polysorb-1, the length of the column—2m, the bore of the column—3mm, the temperature—75°, the temperature of evaporator — 120°, the rate of gas-carrier 50ml/min, the current of catarometer—200 mA.

ლიტერატურა — REFERENCES

1. Беккер Г., Бергер В., Домшке Г. и др. Органикум. Практикум по органической химии, М., изд. «Мир», 1, 257, 1979.
2. Технологический регламент № 02—2—2/12—142—71 «Производство метила йодистого — ^{13}C ». Министерство химической промышленности СССР, В/О «Союзоргсинтез». Второй завод ГИПХ, Ленинград, 4—8, 1971.
3. Сборник методик по определению химической и изотопной чистоты соединений со стабильными изотопами, раздел IV, 264, 1966.

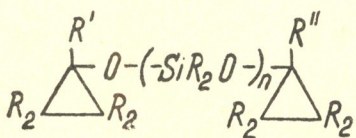
ФИЗИЧЕСКАЯ ХИМИЯ

УДК 678.063 : 547.1.128

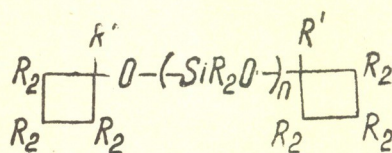
П. Г. АЛЕКСЕЕВ, Л. М. ХАНАНАШВИЛИ, П. И. ПОВАРНИН, Т. В. ЗИНОВКИНА

ВЛИЯНИЕ СТРУКТУРЫ α , ω -БИС(ОРГАНОЦИКЛОСИЛОКСИ)-ДИМЕТИЛСИЛОКСАНОВ НА ИХ ТЕПЛОФИЗИЧЕСКИЕ СВОЙСТВА

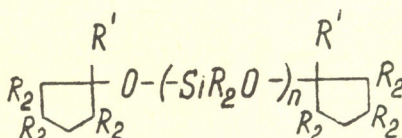
Ранее на примере кремнийорганических олигомеров было показано [1, 2], что изменение их структуры влияет на комплекс физико-химических свойств, и экспериментально определены [3] некоторые теплофизические свойства гантелеподобных олигодиметилсилоксанов строения:



Структура I



Структура II



Структура III

где — органоциклотрисилоксан, — органоциклотетра-

силоксан, — органоцикlopентасилоксан;

$n = 0, 2, 3, 4, 6$; $R = CH_3$; $R' = CH_3, C_6H_5, ClC_6H_4$.

Применение методов термодинамического подобия [4] для анализа закономерностей изменения свойств индивидуальных соединений позволяет получить зависимости вида

$$y/y' = f(\tau), \quad (1)$$

где $\tau = \frac{1}{T_k}$ соответственно приведенная, текущая и критическая термодинамическая температура;

y, y' — соответственно текущее и масштабное значения изучаемого свойства.

Графическая интерпретация этого уравнения изображается в виде универсальных графиков для каждого свойства, что позволяет определить его в широком интервале температур по единичным исходным данным для класса термодинамически подобных веществ. Определение подобным образом искомого свойства химического соединения значительно сокращает объем экспериментальных исследований и позволяет прогнозировать получение новых веществ с заданным комплексом свойств.

Для получения зависимостей вида (1) величина T_k была получена расчетом, как «псевдокритическая» температура на основании данных кинематической вязкости $\nu = f(T)$, исследованных в работе [3] и других индивидуальных веществ [5]. Величина T_k может быть также рассчитана на основании данных о молекулярной массе (M) химических соединений по уравнению

$$T_k = 1000 - \frac{23160}{M^{0.8}} \quad (2)$$

Обработка экспериментальных и расчетных результатов методами математической статистики [6] позволила получить эмпирические зависимости, отражающие закономерности изменений свойств соединений от приведенной температуры. Зависимость относительной кинематической вязкости ν/ν_k от приведенной температуры — τ можно выразить в виде уравнения

$$\frac{\nu}{\nu_k} = 0,7 + \frac{0,3}{\tau^4} + \frac{1,5 \cdot 10^{-4}}{\tau^{11}}, \quad (3)$$

где член $\frac{1,5 \cdot 10^{-4}}{\tau^{11}}$ — характеризует изменение вязкости жидкости в области, близкой к температуре застывания.

Графическая интерпретация уравнения (3) показана на рис. 1 а, а условные обозначения исследуемых жидкостей — в таблице 1.

Для определения значений величины T_k или ν_k исследуемого вещества по единичным данным $\nu = f(T)$ необходимо, используя уравнение (3) и рис. 1 а, применить метод последовательных приближений.

Результаты расчета по вышеизложенной методике величин T_k и ν_k для исследованных олигомеров приведены в таблице 1.

Теплопроводность жидкостей — λ впервые определялась методом коаксиальных цилиндров [3] в интервале температур $20 \div 160^\circ$. Анализ результатов показывает, что наблюдается увеличение ее с удлинением линейного участка цепи, при переходе к укрупненным циклам от структуры I к структурам II и III, а также с заменой в радикале R^1 группы ClC_6H_4 на группу C_6H_5 .

Указанные закономерности изменения коэффициента теплопроводности отражают строение исследуемых соединений.

Как известно [7], длина диметилсиликсановой цепи при изменении n от 0 до 6 находится в пределах одного сегмента. Однако с ростом



 Таблица I
 Значения физических параметров для олигооргансилоксанов со структурами I—III

Жидкость	Тип структуры	п	R'	M	Aφ	Значения П		Критические параметры			Масштабные значения физпараметров			
						ф-ла (9)	по аддитивн.	T _K , К	P _K , МПа	ρ _K , г/см ³	γ _K , ссм. см	λ _K , Вм МК	C _{p,0,625} , кДж кгК	σ _{0,625} , дин см
1	I	3	C ₆ H ₅	776	0, 100	—	1268	820**	—	0,255	0,477*	—	1,907*	—
2	II	0	ClC ₆ H ₄	771	0, 292	1359	1362	880**	1,76	0,286	0,435*	0,0407	1,761	6,05
3	II	2	"	919	0, 053	1693	1686	900**	—	235	0,279*	0,0414	1,827	5,65
4	II	3	"	993	0, 053	1849	1848	820	0,741	239	1,022	0,0438	1,750	6,54
5	II	4	"	1067	0, 068	2019	2010	900**	2,55	236	0,232*	0,0436	1,895	5,60
6	II	6	"	1215	0, 033	2348	2334	980	—	178	0,126	—	2,283*	5,04
7	II	0	C ₆ H ₅	702	0, 202	—	1282	890	6,37	264	—	—	—	—
8	II	3	"	924	0, 001	—	1774	900	—	163	0,340	0,0430	2,141*	—
9	II	6	"	1146	0,0033	—	2266	970	—	172	0,134	—	2,276*	—
10	II	3	CH ₃	800	0,0033	—	1537	800	11,8	176	0,243	—	1,986*	—
11	II	6	"	1022	0, 001	—	2029	830	—	155	0,164	—	2,153*	—
12	III	2	ClC ₆ H ₄	1067	0, 010	2322	2286	910**	—	0,200	0,292*	—	2,202*	5,45
13	III	3	"	1141	0, 010	2413	2450	820	—	205	0,580	0,0457	1,803	6,00
14	III	4	"	1215	0, 002	2614	2614	920**	—	175	0,231*	—	2,260*	5,29

Примечание: * получены по одной экспериментальной точке

** получены по графику T_K=f(M)

где член $0,4\tau^{20}$ отражает изменение теплопроводности в околоскритической области.

Графическая интерпретация уравнения (4) показана на рис. 16; а значения масштабного коэффициента λ_k приведены в таблице 1.

Обобщение экспериментальных данных, исходя из плотности исследованных соединений, проводилось по методике [4] для неассоциированных жидкостей, которая позволила получить универсальную зависимость в виде эмпирического уравнения:

$$\frac{\rho^*}{\rho_k} = 1 + [1,2(1 - \tau) + 1,8(1 - \tau)^{0,25}] (1 - 0,4 \lg A_\phi), \quad (5)$$

где A_ϕ — определяющий критерий в уравнении состояния, вычисляемый по соотношению

$$A_\phi = 100 \frac{P_{0,625}}{P_k}, \quad (6)$$

где $P_{0,625}$ — упругость паров данного вещества при $\tau = 0,625$,

P_k — критическое давление.

Графическая интерпретация уравнения (5) показана на рис. 2.

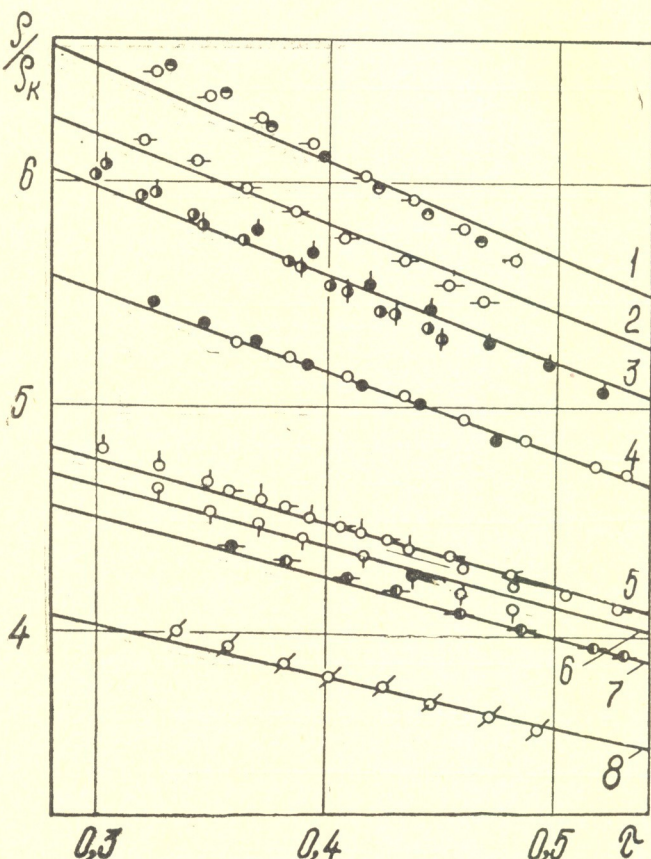


Рис. 2. Универсальные зависимости плотности жидкости от приведенной температуры олигодиметилсилоксанов при значениях A_ϕ : 1 — 0,001; 2 — 0,002; 3 — 0,0033; 4 — 0,01; 5 — 0,053; 6 — 0,068; 7 — 0,100; 8 — 0,292

Результаты расчета параксера для исследованных структур химических соединений приведены в таблице 2, а сравнение их с величинами, полученными аддитивно, в таблице 1.

Таблица 2

Доля параксера (Π) для отдельных атомов и структурных групп

Атомы и структурные группы	Si	O	CH ₃	C ₆ H ₅	ClC ₆ H ₄	Me ₂ SiO			
Доли параксера (Π)	31	20	55,5	174	214	164	204	457	755

Экспериментальные определения теплофизических свойств олигодиметилсиликсанов показали их взаимосвязь со структурой.

Таким образом показано, что структура исследованных олигодиметилсиликсанов влияет на их теплофизические свойства, а применение принципов термодинамического подобия позволяет определять их в широком интервале температур по единичным экспериментальным данным.

Тбилисский государственный университет

Московский институт тонкой химической технологии им. М. В. Ломоносова

Поступило 04.07.1983

З. Ашоташвили, З. Бабуашвили, З. Амвазисидзе, Т. Чубинская

α, ω-ди(организированной полимерной) диокатионидионные соли
и азот тионазиды изучены методом

Л. Ч. Ч. Ч. Ч.

Широкоизвестно **a**, **ω**-ди(организированной полимерной) диокатионидионные соли **б** и **γ**-ди(организированной полимерной) диокатионидионные соли **в**. Их структуры и свойства изучены в различных работах. Для определения структуры и свойств **а** и **б** были предложены различные методы. Одним из основных методов является метод термодинамического подобия. Для определения структуры и свойств **в** был предложен метод термодинамического подобия.

Метод термодинамического подобия основан на том, что для двух систем, имеющих одинаковую структуру, их термодинамические свойства должны быть одинаковыми. Для определения структуры и свойств **в** был предложен метод термодинамического подобия. Для определения структуры и свойств **в** был предложен метод термодинамического подобия.

THE INFLUENCE OF THE STRUCTURE OF α, ω -BIS
 (ORGANOCYCLOSILOXY) DIMETHYLSILOXANES ON THEIR
 THERMOPHYSICAL PROPERTIES

Summary

The correlation between the structure of α, ω -bis (organocyclosiloxyl) dimethylsiloxanes and their thermophysical properties have been studied.

It was experimentally proved that some properties of liquid products (the thermoconductivity and density) depend on the length of dimethylsiloxane links between the cyclic fragments in main-chain, on dimensions of cycles and on the nature of organic radicals of silicon atoms in the silsesquioxanic groups.

The treatment of experimental data by method of thermodynamic likeness made it possible to get the empiric equation and their graphic interpretation for calculation of dependence of the corresponding properties (thermoconductivity, density etc.) on the reduced temperature.

This permits to calculate values of the indicated properties in a large diaposon of temperatures and to prognosticate the properties for the synthesis of different organosilicon compounds.

ЛІТЕРАТУРА — REFERENCES

1. Андрианов К. А., Чернявский А. И., Макарова Н. Н. Изв. АН СССР, серия химич., 1979, № 8, с. 1835.
2. Андрианов К. А., Виноградов Г. В., Дицент В. Е., Титкова Л. В., Макарова Н. Н., Чернявский А. И., Терентьева Н. А. Высокомолек. соед., А 21, № 7, 1475 (1979).
3. Зиновкина Т. В. Автореферат канд. дисс., М., МИТХТ им. М. В. Ломоносова, 1980.
4. Филипов Л. П. Подобие свойств веществ, М., изд. МГУ, 1978, с. 19.
5. Физико-химические и эксплуатационные свойства полиметилсилоановых жидкостей. Под. ред. И. И. Скороходова. М., Изд. ГНИИХТЭОС, 1978, с. 6.
6. Корн Г., Корн Т. Справочник по математике, М., изд. «Наука», 1974, с. 607.
7. Воронков М. Г., Мишешкевич В. П., Южелевский Ю. А. Силоксановая связь, Новосибирск, изд. «Наука», Сиб. отд., 1976, с. 48.
8. Бажант В., Хваловски В., Ратоуски И., Силиконы, М., Госхимиздат, 1960, с. 428.
9. Бретшиайдер Ст. Свойства газов и жидкостей, М.—Л., изд. «Химия», 1956, с. 64.

УДК 541.128

Г. В. ЦИЦИШВИЛИ, Д. В. ХУРОШВИЛИ, М. В. УРУШАДЗЕ,
Г. М. ЖИДОМИРОВ, А. Г. ПЕЛЬМЕНЩИКОВ, Л. Г. РУДА

КВАНТОВОХИМИЧЕСКОЕ ИССЛЕДОВАНИЕ СТРУКТУРНОЙ СТАБИЛЬНОСТИ ЦЕОЛИТОВ. СРАВНЕНИЕ СТАБИЛЬНОСТИ АММОНИЙНЫХ И ВОДОРОДНЫХ ФОРМ ЦЕОЛИТОВ И БОРАЛИТОВ

В сообщении [1] в рамках метода MINDO/3 мы рассмотрели природу факторов, определяющих структурную стабильность цеолитов и боралитов.

В качестве основного критерия стабильности каркаса рассматривалась стабильность Al—O и B—O связей для цеолитов и боралитов соответственно.

В начале энергетика образования «дополнительной» T—O связи (или энергетика переходов $\text{TO}_3 \rightarrow \text{TO}_4$) была рассмотрена на примере простых систем $\text{T}(\text{OH})_3 + \text{H}_2\text{O}$ ($\text{T} = \text{Al}, \text{B}$). Расчеты показали, что при отсутствии дополнительной координации для TO_3 -фрагментов наиболее вероятна плоская структура (рис. 1 а). Однако TO_4 -фрагменты в окисных системах имеют структуру, близкую к тетраэдрической. Поэтому

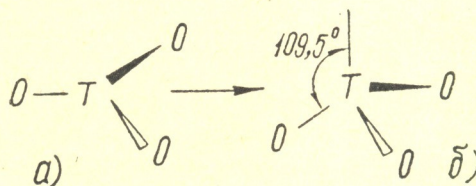


Рис. 1. Структурная перестройка TO_3 -фрагмента из плоского состояния в пирамидальное (T=Al, B)

тому было сделано предположение, что энергетика $\text{TO}_3 \rightarrow \text{TO}_4$ переходов определяется двумя факторами: $E_{\text{стп.}}$ — затратами энергии на $\text{TO}_3^{\text{пл.}} \rightarrow \text{TO}_3^{\text{пир.}}$ переход из плоского состояния в пирамидальное (рис. 1б) и $E_{\text{св.}}$ — выигрышем в энергии при $\text{TO}_3^{\text{пир.}} \rightarrow \text{TO}_4$ образовании «дополнительной» связи. Как показали расчеты, $E_{\text{стп.}} = 75$ и 126 кДж/моль, $E_{\text{св.}} = 126$ и 96 кДж/моль для $\text{T}=\text{Al}$ и B соответственно, т. е. затраты энергии на структурную перестройку для $\text{T}=\text{B}$ существенно больше, чем для $\text{T}=\text{Al}$. Так, например, в системе $\text{B}(\text{OH})_3 + \text{H}_2\text{O}$ образование

«дополнительной» связи, т. е. переход $\text{BO}_3 \rightarrow \text{BO}_4$ энергетически не выгоден, т. к. $E_{\text{III} \rightarrow \text{IV}} = E_{\text{стр.}} - E_{\text{св.}} = 29 \text{ кДж/моль}$.



Вместе с тем, увеличение электронодонорных свойств атома O, с которым происходит дополнительное связывание, должно увеличивать $E_{\text{св.}}$ — энергию T—O связи. Так, например, в системе $\text{B}(\text{OH})_3 + \text{OH}^-$ $E_{\text{св.}} = 370 \text{ кДж/моль}$, т. е. $E_{\text{III} \rightarrow \text{IV}} = -244 \text{ кДж/моль}$, и $\text{BO}_3 \rightarrow \text{BO}_4$ переход, т. е. образование «дополнительной» связи становится энергетически выгодным. Эти результаты позволили объяснить различия в координационной способности атомов B и Al: атом B в отличие от атома Al во многих окисных соединениях встречается в трехкоординированном состоянии, например, в B_2O_3 , $\text{B}_2\text{O}_3 \cdot \text{SiO}_2$, кристаллических боросиликатах и т. д. [2, 3].

Это позволяет качественно объяснить наблюдаемое увеличение термической стабильности цеолитов ($\text{Si}/\text{Al} = \text{const}$) при изменении противоионов в ряду H^+ , NH_4^+ , Li^+ , Na^+ , K^+ , Rb^+ [4, 5]. В такой последовательности уменьшаются электроноакцепторные свойства противоионов и увеличиваются электронодонорные свойства мостиковых атомов кислорода, образующих «дополнительную» связь с атомом Al. При этом увеличивается $E_{\text{св.}}$ — энергетический барьер для $\text{AlO}_4 \rightarrow \text{AlO}_3$ перехода.

Также в работе [1] была рассмотрена стабильность водородных форм цеолитов и бораллитов; если BO_4 -фрагменты в H-формах бораллитов и существуют, то они должны быть значительно менее стабильными, чем AlO_4 -фрагменты в H-формах цеолитов.

В настоящей работе мы попытались в рамках метода CNDO/BW [6] рассмотреть, как изменяется стабильность водородных форм цеолитов и бораллитов при переходе к аммониевым формам.

Рассмотрим в начале переход $\text{TO}_3 \rightarrow \text{TO}_4$ в системе $(\text{AO})_3\text{SiOH} + \text{T(OA)}_3$ (A — моновалентный псевдоатом [14]) (рис. 2.). Как показали расчеты, $E_{\text{стр.}} = 86$ и 202 кДж/моль и $E_{\text{св.}} = 262$ и 287 кДж/моль для $\text{T} = \text{Al}$ и B соответственно, т. е. переход $E_{\text{III} \rightarrow \text{IV}} = -176$ и $-84,9 \text{ кДж/моль}$.

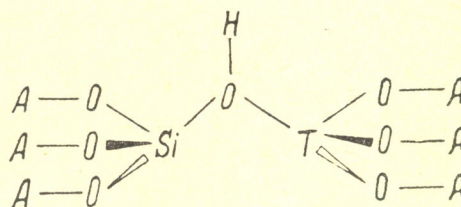


Рис. 2. Молекулярные модели водородных форм цеолитов и бораллитов ($\text{T} = \text{Al}, \text{B}$)

Таким образом, эти расчеты подтвердили результаты, полученные ранее в рамках метода MINDO/3 [1].

Образование аммониевых форм моделировалось адсорбцией NH_3 на OH-группе [7—9] (параметры для N—H связи были взяты из [7]). Расчеты показали, что $E_{\text{св.}}$ — энергия «дополнительной» связи увеличивается и составляет 301 и 327 кДж/моль. Соответственно увеличи-

вается и барьер переходов $\text{AlO}_4 \rightarrow \text{AlO}_3$ и $\text{BO}_4 \rightarrow \text{BO}_3$, который составляет — 215 и — 125 кДж/моль (рис. 3).

Расчеты подтверждают также правильность предположений, сделанных в работах [4, 5], насчет модели, объясняющей изменение термостабильности цеолитов в ряду H^+ , NH_4^+ , Li^+ , Na^+ , K^+ , Rb^+ , т. к. электроноакцепторные свойства NH_4^+ , естественно, ниже, чем у H^+ .

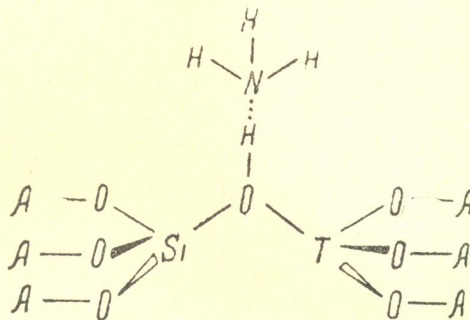


Рис. 3. Молекулярные модели аммониевых форм цеолитов и бораллитов ($T = \text{Al}$, B)

Таким образом, в аммониевых формах цеолитов и бораллитов прочность $\text{Al} - \text{O}$ и $\text{B} - \text{O}$ связей выше, чем в водородных формах.

Эти результаты согласуются с экспериментально известным фактом, что разрушение структуры аммониевых форм цеолитов происходит только после удаления NH_3 , т. е. перехода в водородную форму [10 — 13].

Институт физической и органической
химии им. П. Г. Меликишивили АН ГССР
Институт катализа СО АН СССР
Институт прикладной математики
Тбилисского государственного университета

Поступило 30.11.1983

გ. ვილიამისი, დ. ხუროვანი, გ. ურუაძე, გ. შიდომირვი,
ა. პელმანაშვილი, ლ. რუდა

ცეოლითების სტრუქტურული სტაბილურობის კანონების გამოკვლევა.
ცეოლითების და ბორალიტების აპონიური და ფალგაღური ფორმების
სტაბილურობის უდარებელობა

რეზიუმე

CNDO/BW მეთოდით შესწავლილია ცეოლითებისა და ბორალიტების შესაბამის ფორმების სტაბილურობა. ნაჩვენებია, რომ ამონიუმიან ფორმებზე გადასვლისას $\text{Al} - \text{O}$ და $\text{B} - \text{O}$ ბმების სიმტკიცე იზრდება. ასენილია, რატომ იცვლება ცეოლითების სტაბილურობა ($\text{Si}|\text{Al-const}$) კატიონების შეცვლისას შემდეგ მუკრივში: H^+ , NH_4^+ , Li^+ , Na^+ , K^+ , Rb^+ .

G. V. TSITSISHVILI, D. V. KHUROSHVILI, M. V. URUSHADZE,
G. M. ZHIDOMIROV, A. G. PEMENSHCHIKOV, L. G. RUDA

QUANTUM CHEMICAL STUDY OF ZEOLITE STRUCTURE STABILITY. COMPARISON OF STABILITY OF AMMONIUM AND HYDROGEN FORMS OF ZEOLITES AND BORALITES

Summary

Stability of hydrogen forms of zeolites and boralites has been studied by CNDO/BW method. It's shown that stability of Al—O and B—O bonds increases with transition into ammonium forms. The change of zeolite thermo stability ($\text{Si}/\text{Al} = \text{const}$) at cation change in the line: H^+ , NH_4^+ , Li^+ , Na^+ , K^+ , Rb^+ is explained.

ЛІТЕРАТУРА — REFERENCES

1. Pelmenhschikov A. G., Zhidomirov G. M., Khuroshvili D. V., Tsitsishvili G. V., Proceedings of the Conference, Praha, 1984, p. 85.
2. Lawrence C. Snyder. Materials of Science Research, New York and London, 1978, v. 12.
3. Итоги науки и техники, Кристаллохимия, 1980, 14.
4. Barrer R. M. Langlly D. A., J. Chem. Soc., 1958, p. 3804.
5. Бергер А. С., Яковлев А. К. Ж. прик. химии, 1965, 38, 1240.
6. Boyd R. J., Whitehead M. A. J. Chem. Soc. Dalton Trans., 1972, I. p. 73.
7. Сенченя И. Н., Михеикин И. Д., Жидомиров Г. М., Казанский В. Б. Кинетика и катализ, 1981, т. XXII, № 5, с. 1174.
8. Киселев А. В., Лыгин В. И. Инфракрасные спектры поверхностных соединений, М., изд. «Наука», с. 336, 1972.
9. Basila M. R., Kartner T. R. J. Phys. Chem., 1967, v. 1, № 3. p. 467.
10. Milliken T. H., Millis G. A., Oblad A. G., Disc. Faraday Soc., 1950, 8, p. 279.
11. Жданов С. П., Киселев А. В., Лыгина В. И., Титова Т. И. ДАН СССР, 1960, 150, с. 584.
12. Жданов С. П., Киселев А. В., Лыгин В. И., Овсепян М. Е., Титова Т. И. ЖФХ, 1965, 39, с. 2554.
13. Жданов С. П., Егорова Е. И. Химия цеолитов, М., изд. «Наука», 1968, с. 123.
14. Mikheikin I. D., Abronin I. A., Zhidomirov G. M., Kazanskiy V. B. J. Mol. Cat., 1977/1978, № 3, p. 435.

УДК 541.183

О. М. МДИВНИШВИЛИ, Е. И. КОБАХИДЗЕ, Г. С. МЧЕДЛИШВИЛИ
И. Г. САРИШВИЛИ

ИССЛЕДОВАНИЕ И ИСПЫТАНИЕ ДИАТОМИТА, МОДИФИЦИРОВАННОГО СОЛЯРОВЫМ МАСЛОМ, В КАЧЕСТВЕ НАПОЛНИТЕЛЯ ПОЛИМЕРНЫХ МАТЕРИАЛОВ

В последние годы большое внимание уделяется получению композиционных наполненных полимерных материалов с комплексом заданных свойств для использования в строительстве.

Известно применение в качестве наполнителей таких природных минеральных наполнителей, как мел, каолин, кальцит, доломит, диатомит и др. [1]. Однако использование наполнителей тем эффективнее, чем сильнее адсорбционное взаимодействие между поверхностью наполнителя и полимерным связующим. Поэтому модифицирование поверхности природных минеральных наполнителей, с целью повышения активности их взаимодействия с полимерными связующими, является весьма актуальной задачей.

В качестве исходного материала для модификации нами использован диатомит Кисатибского месторождения ГССР, имеющий следующий химический состав (в %-ах).

потери при прокаливании	SiO ₂	Al ₂ O ₃	Fe ₂ O ₃	CaO	MgO	Na ₂ O	K ₂ O
2,24	90,5	2,0	1,0	0,8	0,31	0,44	0,4

Измельченный диатомит имел следующий гранулометрический состав:

> 500 мкм	500 — 100 мкм	100 — 60 мкм	60 — 20 мкм	< 20 мкм
0,4	0,4	3,2	8,0	88,0

Модификация диатомита осуществлялась по способу, предложенному в работе [2], согласно которому в качестве модификатора используется соляровое масло. В наших опытах модификация осуществлялась термической обработкой смеси (1 : 1) диатомита с соляровым маслом при температуре 200°. Ниже приводятся результаты термического анализа исходного диатомита, солярого масла, механической смеси диатомита и солярого масла и диатомита, модифицированного солярным маслом при 200°. Анализ полученных дифференциальных термических кривых и кривых потери массы, полученных на дериватографе фирмы «МОМ», показывает, что диатомит характеризуется только одним широким низкотемпературным эндотермическим эффектом, который связан с выделением адсорбированной воды. Соляровое масло характеризуется интенсивным эндотермическим эффектом при 140°, который связан с переходом части его в парообразное состояние, о чем свидетельствует также кривая потери массы, максимальная при этой температуре. Поскольку эта температура является низкой для кипения солярового масла, надо предполагать, что в нем

содержится определенное количество легкокипящих фракций. Оставшееся количество более высокомолекулярных фракций кипит при 340° и 480°, что отмечается соответствующими эндотермическими эффектами, сопровождающимися экзотермическими пиками при 380° и в области 530—580°. Эти эффекты связаны, по нашему мнению, вначале с осаждением, а затем с коксообразованием фракций, содержащихся в солярном масле [3]. На дифференциальной термической кривой ме-

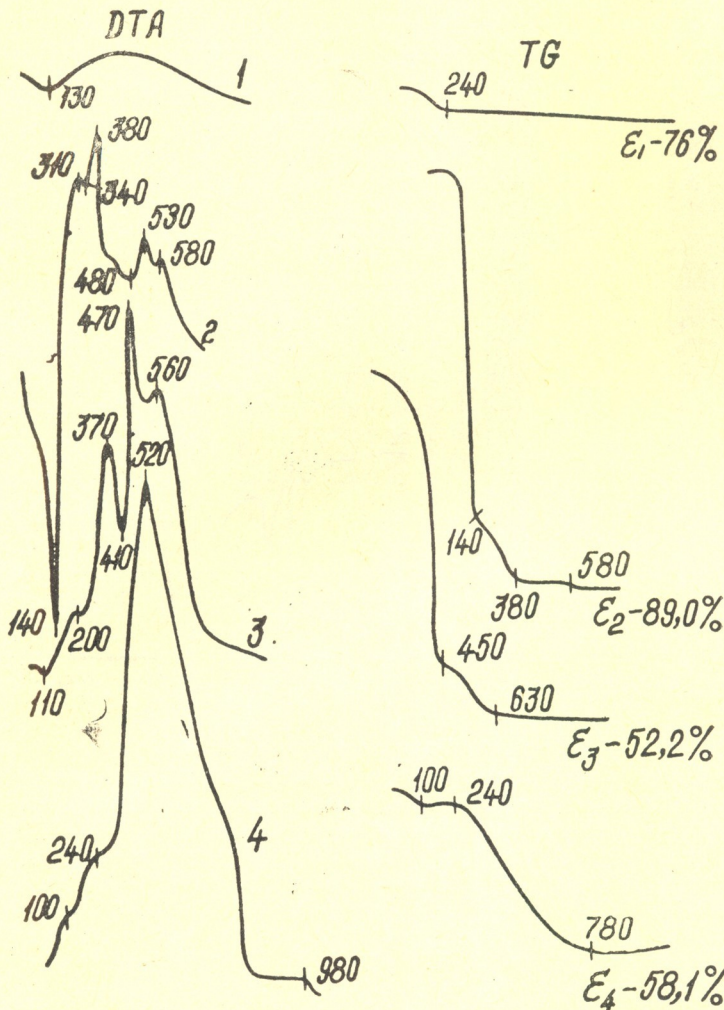


Рис. 1. Дифференциальные термокривые (ДТА) и кривые потери веса (TG): 1 — диатомит природный, 2 — соляровое масло, 3 — механическая смесь диатомита и солярового масла, 4 — диатомит, модифицированный соляровым маслом (1:1) при 200°

нической смеси диатомита и солярового масла температуры эндотермических эффектов масла сдвинуты в более высокотемпературную область так же, как и температуры экзотермических эффектов, хотя конечная температура не превышает 560°. В сторону более высоких температур смешена также потеря массы, максимальный участок которой фиксируется до 450°, а дальнейший процесс потери массы завершается до 630°. Это говорит о том, что даже в механической смеси с солярным маслом диатомит проявляет себя не как инертный компонент и, сорбируя в порах кремнистого скелета минеральное масло, активно влияет на его свойства при термической обработке.

В образце диатомита, модифицированного солярным маслом при 200° , на дифференциальной термокривой фиксируется только один, ярко выраженный экзотермический эффект с максимумом при 520° . Однако, как показывает кривая потери массы, процесс изменения углеводородов, адсорбированных на диатомите, при этой температуре еще полностью не заканчивается и продолжается до 780° .

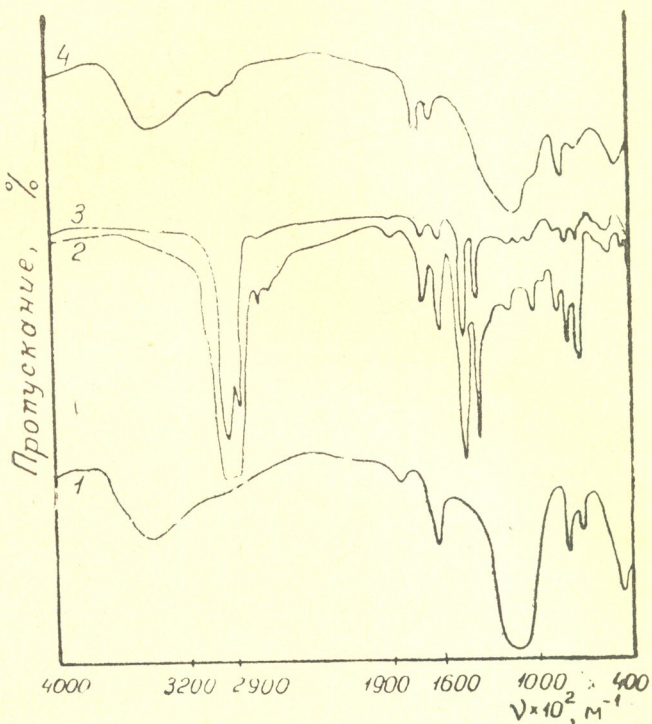


Рис. 2. ИК-спектры природного диатомита (1), солярового масла (2), термически обработанного (200°) солярового масла (3) и диатомита, модифицированного солярным маслом (1:1) при 200° (4)

ИК-спектры природного и модифицированного диатомита, полученные на приборе «Specord—75», показывают, что в спектре диатомита, подвергнутого термической обработке с солярным маслом, фиксируются полосы поглощения в области $2930-2840 \cdot 10^2 \text{ м}^{-1}$, относящиеся к валентным колебаниям СН-групп, а также полосы поглощения при $1720 \cdot 10^2 \text{ м}^{-1}$, и $1630 \cdot 10^2 \text{ м}^{-1}$, которые могут быть отнесены соответственно к связям С = О и С = С, хотя полоса поглощения при $1630 \cdot 10^2 \text{ м}^{-1}$ может быть отнесена также к деформационным колебаниям адсорбированных молекул воды. Эти данные подтверждают, что поверхность диатомита при такой обработке покрывается углеродистыми соединениями, что способствует органофилизации кремнеземистого каркаса диатомита и должно повышать эффективность его взаимодействия с органическими молекулами в полимерных композициях.

Надо полагать, что механизм модификации диатомита минеральным маслом заключается в концентрировании на поверхности диатомита высокомолекулярных углеводородов и переходе низкомолекулярных и более летучих углеводородов в парообразное состояние. Каких-либо хемосорбционных процессов органических молекул с кремнеземом диатомита при этом, по-видимому, не происходит, так как в

ИК-спектрах модифицированных образцов не фиксируются полосы поглощения, характерные для связей Si—O—C или Si—C.

Опытный образец диатомита, модифицированного солярным маслом, был испытан в лабораторных условиях во ВНИИЗПОЛИМЕР (г. Москва) в качестве наполнителя в отверждающихся герметизирующих композициях, которые предназначены для герметизации стыков в крупноблочном и крупнопанельном домостроении [4]. Они представляют собой отверждающиеся во времени мастики, обладающие высокой адгезией к различным материалам, в том числе и к бетонным поверхностям, что обеспечивает высокую герметичность сопрягаемых материалов. Модифицированный диатомит вводился в состав герметизирующей полимерной композиции на основе олигомерного бутадиен-нитрильного карбоксилатного каучука и эпоксидной смолы, взамен дефицитного и дорогостоящего продукта — аэросила А-300. Результаты сравнительных физико-механических испытаний герметиков с различными наполнителями приведены в таблице 1.

Таблица 1

Физико-механические показатели герметиков с различным составом наполнителей

Наименование наполнителя	Физико-механические показатели герметиков		
	напряжение при разрыве, кг/см ²	относительное удлинение, %	стекание, мм
Аэросил А — 300 + мел	6,35	152,0	2,0
Диатомит природный	4,8	172	5,0
Диатомит, модифицированный кубовыми остатками этилхлорсилана	5,37	138,0	5,0
Диатомит, модифицированный γ-аминонпропилтриэтоксисиланом	7,10	180,0	2,0
Диатомит, модифицированный солярным маслом	7,5	203,0	1,5

Как видно из этой таблицы, модификация диатомита путем его обработки солярным маслом позволяет получить наполнитель, введение которого в герметики обеспечивает их высокие физико-механические свойства, что указывает на перспективу его использования для этих целей взамен дорогостоящего и дефицитного аэросила.

Кавказский институт минерального сырья

Институт физической и органической химии им. П. Г. Меликишвили АН ГССР

Поступило 18.02.1983

М. Афонинская, Е. Томасиди, В. Шевченко, О. Саркисян

Использование диатомита в композициях на основе эпоксидных смол для герметизации стыков в крупноблочном и крупнопанельном домостроении

Л. К. О. М. Г.

Задолженность к оплате по договору № 102 от 01.01.1983 г. в размере 2000 руб. (в том числе НДС 340 руб.)

მოდიფიცირებული დიატომიტი შესწავლილია თერმოგრავიმეტრიული ან-ლიზისა და იქ-სპექტროსკოპის მეთოდებით. დადგენილია, რომ სოლარული მოდიფიცირების დიატომიტის ზედაპირზე მიმღინარეობს მაღალმოლეკულურ ნახშირწყალბადების კონცენტრირება, რის შედეგადაც მიღწეულია დიატომიტის ორგანოფილიზაცია და მისი პოლიმერებთან ურთიერთქმედების აფექტურობის ამაღლება.

მოდიფიცირებული დიატომიტი გამოცდილია ოლიგომერულ ბუტადიენ-ნიტრილური კარბოქსილური კაუჩუკისა და ეპოქსიდური ფისის საფუძველზე მაპერმეტიზებელი პოლიმერული კომპოზიციების შემაცებლად.

ნაჩვენებია, რომ სოლარის ზეთით მოდიფიცირებული დიატომიტი შეიძლება გამოვიყენოთ ჰერმეტიკებში დეფორმიტური და ძვირადლირებული შემავსებლის აეროსილის A—300-ის ნაცვლად.

O. M. MDIVNISHVILI, E. I. KOBAKHIDZE, G. S. MCCHEDLISHVILI,
I. G. SARISHVILI

STUDIES AND TESTS OF THE MODIFIED WITH SOLAR OIL DIATOMITE USED AS A FILLER OF POLYMERIC MATERIALS

Summary

The results of modification of diatomite with solar oil in the ratio 1:1 and at the temperature of 200° are considered. The purpose was to improve the diatomite quality for its use as a filler of polymeric composition materials.

The modified diatomite was studied by thermogravimetric analysis and IR-spectroscopy. It was found that when diatomite was modified with solar oil, high molecular hydrocarbons were concentrated on its surface and as a result organofilling of diatomite was reached and the efficiency of its interaction with polymers was increased.

The modified diatomite was tested as a filler of pressurizing polymeric composition on the basis of oligomeric butadiene acrylonitrile carboxylated rubber and epoxy resin and it was shown that it could be successfully used in hermetics instead of a deficient and expensive filler-Aerosil A—300.

ლიტერატურა — ЛИТЕРАТУРА — REFERENCES

1. Наполнители для полимерных композиционных материалов. Справочное пособие, М., изд. «Химия», 1981.
2. Кобахидзе Е. И., Шишниашвили М. Е. авт. свид. СССР № 477992, 1975. Б. № 27, 25.05.1975.
3. Кобахидзе Е. И. Органофильтные модификации обогащенного аскангеля, Сб. Новые модификации аскангеля для применения в народном хозяйстве, Тб., изд. «Мецниереба», 1975.
4. Клей и герметики (под редакцией Д. А. Кардашова), М., изд. «Химия», 1978.

ТЕХНОЛОГИЯ

УДК 669.871

Г. Б. ШАХТАХТИНСКИЙ, Г. А. ШАКАРОВ, А. А. ГЕЙДАРОВ

ИЗУЧЕНИЕ УСЛОВИЙ ИЗВЛЕЧЕНИЯ ЦЕННЫХ КОМПОНЕНТОВ ИЗ РЕТОРТНЫХ ОСТАТКОВ ЦИНКОВОГО ПРОИЗВОДСТВА

Проблема комплексного использования сырья имеет большое значение при переработке продуктов цинкового производства, содержащих значительные количества цинка, меди, свинца и кадмия [1].

Одним из основных продуктов пирометаллургического цинкового производства являются ретортные остатки — раймовка. Кроме цветных металлов, в этом продукте имеются значительные количества редких металлов, в частности, галлия (0,06 % масс) [2]. Цветные и редкие металлы в этом продукте находятся в трудно растворимых формах, в разбавленной серной кислоте.

В зависимости от характеристики сырья, в литературе [3, 5] имеются различные способы переработки раймовки с целью извлечения ценных компонентов: плавка в шахтной печи, вельцевание, мокрое и электромагнитное обогащение, плавка во взвешенном состоянии, растворение в серной кислоте. Какие-либо стандартные схемы по обработке раймовки отсутствуют.

Наиболее подробно в литературе рассмотрен процесс переработки раймовки методом вельцевания. При этом галлий восстанавливается до состояния низшей валентности и возгоняется в вельцокиси. Основная часть галлия остается в клинкере, что, по-видимому, связано со значительной растворимостью его в железе, образующемся в процессе вельцевания. Это предположение подтвердилось нашими исследованиями, которые проводились с пробами, взятыми с одного отечественного завода. Составы проб приведены в таблице 1.

Таблица 1

Наименование материала	Содержание компонентов				
	Zn	Fe	Cu	SiO ₂	Ga
Раймовка	11,58	16,00	1,84	18,15	0,008
Вельцокись	57,00	3,86	0,77	—	0,0025
Клинкер	0,80	14,10	1,81	22,36	0,0026

Как видно из таблицы, галлий, находящийся в раймовке, распределяется между вельцокисями и клинкером. При существующей технологии переработки этих продуктов извлечение галлия осуществляется сложным путем и по этой причине степень его извлечения не может быть высокой.



Процесс вельцевания имеет ряд недостатков. Основным из них является затруднение в переработке клинкера в шахтных печах, а при этом не достигается задача наиболее полного использования полезных составляющих раймовки.

В настоящей статье представлены данные лабораторных исследований процесса переработки раймовки с целью получения раствора, пригодного для получения цинка и галлия. Изучена также возможность извлечения и распределения других ценных металлов.

В последнее время большое внимание уделяется более эффективному высокотемпературному выщелачиванию цинковых полупродуктов [4]. Поэтому мы также провели исследование по извлечению галлия из раймовки методом кислотного выщелачивания. Предварительные опыты показали, что при обработке раймовки раствором, содержащим до 300 г/л H_2SO_4 , при 70—95°C в течение 2—8 часов при отношении $T : Ж = 1 : 10$, галлий в раствор полностью не переходит. Результаты опытов приведены в таблице 2.

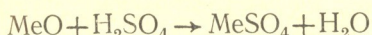
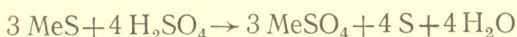
Таблица 2

Результаты выщелачивания раймовки. Навеска — 10 г. Отношение $T : Ж = 1 : 10$

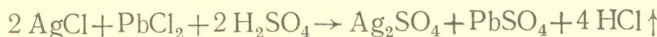
Кон- центр., г/л	Темпе- ратура процесса, °C	Про- долж. процес- са, мин	Состав маточного раствора, г/л				Степень извлечения, %			
			Zn	Cu	Fe	Ga	Zn	Cu	Fe	Ga
Кипение пульпы	360	56,8	5,30	0,69	3,64	0,0020	45,76	37,50	21,53	25,00
		104,6	6,35	0,88	8,51	0,0045	54,83	47,82	50,35	56,25
		150	8,20	1,42	11,2	0,0057	70,81	77,17	66,27	71,25
		200	8,99	1,59	12,3	0,0060	77,63	86,41	73,19	75,00
		300	9,51	1,59	13,4	0,0068	82,12	86,41	79,52	85,50
		200	9,55	1,59	13,5	0,0070	82,50	86,41	80,17	87,50

Одним из наиболее эффективных способов перевода в раствор цветных и редких металлов является сульфатизация материалов крепкой серной кислотой [6—8], что и было использовано в настоящей работе. Были получены положительные результаты.

Сущность способа и теоретическое обоснование сульфатизации раймовки заключается в следующем: раймовка смешивается с серной кислотой (любой концентрации). Полученная масса нагревается на водяной или песочной бане досуха. При нагревании вода постепенно испаряется, а кислота начинает реагировать с сульфидами, силикатами, ферритами и т. д. При сульфатизации раймовки все металлы переводятся в растворимые сульфаты. Превращение ферритов или сульфидов металлов в растворимую форму в виде сульфатов можно представить следующими общими реакциями (где $Me = Zn, Cu, Fe$):



Участвующие в раймовке хлориды Ag и Pb также переводятся в сульфатную форму



Методика работы была следующая: подсушенную в печи навеску раймовки весом 10—15 г смешивали в фарфоровой чашке с концентрированной серной кислотой, взятой из расчета расхода серной кислоты

1,8% от веса кека. Полученную пульпу упаривали досуха. Сухую массу помещали в муфельную печь и выдерживали при 180—700° в течение 1—6 часов. При этом выделялся сернистый газ. Сульфатизированный остаток измельчали. Необходимость измельчения была вызвана образованием на поверхности массы при температуре 300° кислотной пленки, которая к концу процесса затвердевала. При температуре сульфатизации ниже 300° она не образуется. Сухую массу выщелачивали в воде или в 5%-ной серной кислоте при найденных оптимальных условиях ($T : J = 1 : 3$, температура 90—95°, время 2 часа). Пульпа отфильтровывалась и остаток промывался водой. В растворе определяли количества выщелоченных — цинка, меди, железа и галлия, и рассчитывали процент перехода в раствор этих металлов. По анализу твердого остатка после выщелачивания определяли степень сульфатизации раймовки.

Результаты опытов показали, что сульфатизация раймовки крепкой серной кислотой обеспечивает высокую степень извлечения в раствор ценных составляющих. Определяющее влияние на полноту сульфатизации оказывают количество кислоты и температура. Сульфатизация проводилась концентрированной серной кислотой ($d = 1,84 \text{ г/см}^3$) при расходе 60 мл на 100 г материала.

Исследование, проведенное по изучению зависимости извлечения ценных компонентов от температуры сульфатизации, показало, что оптимальной является температура 200—500°. Как видно из таблицы 3, при кислотном выщелачивании максимальное извлечение цинка 94,90% и галлия 94—97% получено при температуре 400—500°. Повышение температуры до 600° понижает извлекаемость цинка и галлия соответственно до 76,41 и 71,25%.

Таблица 3

Температура сульфатизации, °C	Время сульфатизации, мин	Извлечение, %			
		Fe	Zn	Cu	Ga
300	60	84,49	88,77	94,56	94,00
400	360	91,50	94,90	96,73	97,00
500	240	91,27	94,73	96,19	97,00
600	120	64,62	76,41	85,90	71,25

Результаты извлечения ценных компонентов из раймовки при найденных оптимальных условиях приведены в таблице 4.

Таблица 4

Компоненты	Содержание компонентов в исходном продукте, %	Содержание компонентов в растворе, г/л	Содержание компонентов в остатке, %	Степень извлечения компонентов, %
Pb	0,85	—	2,108	—
SiO ₂	18,15	—	45,01	—
Cu	1,84	5,89	0,17	96,19
Fe	16,90	47,90	3,67	91,27
Zn	11,58	36,56	1,51	94,73
Ga	0,008	0,026	0,001	97,00

Как видно из данных, приведенных в этой таблице, некоторое количество галлия (0,001%) наблюдается в остатке. Нерастворившийся галлий, по-видимому, находится в виде соединений, не выщелачивающихся в исследованных режимах.



Таким образом, результаты опытов показали, что сульфатизация рябомовки концентрированной серной кислотой обеспечивает высокую степень извлечения в раствор ценных составляющих. Дальнейшие исследования посвящены вопросу извлечения цинка из этого раствора, а также концентрирования галлия.

Институт неорганической и физической химии АН Азерб.ССР

Поступило 13.03.1983

8. შახტარსტიციცი, 8. შაქაროვი, ა. გეილაროვი

თუთის ჭაროვების რეზონაციული ნაჩენებიდან პირზეა კომპონენტის
აპოზიციის პირზების შესვალა

၁၁၈၀၃ မာ

დადგენილია თუთის რაიმოვკების სულფატიზაციის ოპტიმალური პირობები (მუავას კონცენტრაცია და რაოდენობა, ტემპერატურა და სულფატიზაციის ხანგრძლივობა).

Шеरшъа гулолюа түтөйиса да галоижүмис амнүбөйдис პირობები რაიმოვკის პიდრომეტალურგиული გადამუშავების შემთხვევაში. დადგნილია, რომ გამოტუტვის ოპტიმალური რეჟიმის დროს ($\beta:t = 1:3$; $t = 90-95^\circ\text{C}$, ხანგრძლივობა — 2 საათი) түтөйида да გალоижүმი მთლიანად გადაის ხსნარში.

G. B. SHAKHTAKHTINSKIY, G. A. SHAKAROV, A. A. GEIDAROV

STUDIES OF THE CONDITIONS OF EXTRACTION OF VALUABLE COMPONENTS FROM RETORT REMNANTS OF ZINC PRODUCTION

Summary

The optimum conditions of sulfatization of residual slag in zinc distillation (concentration and acid amount, temperature and time of sulfatization) have been found. The conditions of extraction of zinc and gallium at hydrometallurgic reprocessing of residual slag in zinc distillation have been studied. It is found that in the developed optimum regime of leaching ($S:L = 1:3$, $t = 90-95^\circ\text{C}$, time—2 hours) zinc and gallium are completely extracted into the solution.

ଓଡ଼ିଆରୁତ୍ୱା – ЛИТЕРАТУРА – REFERENCES

- Лакерник М. М., Пахомова Г. И. Металлургия цинка и кадмия. М., Металлургия, 1969, 488.
 - Иванова Р. В. Химия и технология галлия, М., Металлургия, 1973, 392.
 - Powell H. E., Higley L. W., Rept Invest. Bur. Mines. U. S. Dep. Inter, 1973, № 7754, 15.
 - Гецкин Л. С., Ярославцев А. С. и др. Сборник трудов ВНИИцвет. мет., 1975, 25, 218.
 - Плаксин И. Н., Зырянов М. Н. Комплексная переработка свинцово-цинкового сырья, изд. Академии наук СССР, М., 1963, 152.
 - Цыб П. П., Батюк А. Г., Гецкин Л. С. Бюл. ЦИИЦМ, 1957, № 16 (93), 22.
 - Снурников А. П., Цыб П. П. и др. Цветные металлы, 1965, 9, 36.
 - Патент США № 4225342, 1980.

УДК : 661.635.6

В. Н. ГАПРИНДАШВИЛИ, З. Ш. КАДЖАЯ, В. В. РУХАДЗЕ, Н. А. НИЖАРАДЗЕ,
Д. Г. ОТИАШВИЛИ, И. Г. БЕРИКАШВИЛИ

ОПТИМИЗАЦИЯ ПРОЦЕССА ПОЛУЧЕНИЯ ФОСФАТА ЦИНКА

Высокие ингибиторные свойства фосфата цинка [1] обусловили значительное расширение его применения в качестве антакоррозионного пигмента.

Фосфат цинка получают взаимодействием сульфата цинка или окиси цинка с фосфорной кислотой [1—4], а также взаимодействием кислых ортофосфатов натрия или аммония с сульфатом цинка [5, 6].

Вопросам рационального использования названных дефицитных химических реагентов, участвующих в процессе получения фосфата цинка, придается большое значение. Поэтому, естественно, встает вопрос о необходимости разработки условий оптимального ведения технологического процесса.

В статье приводятся материалы по оптимизации процесса взаимодействия сульфата цинка и фосфорной кислоты с последующей нейтрализацией растворов, обеспечивающей максимальный выход целевого продукта при минимальных затратах реагирующих компонентов.

Установление количественных зависимостей между входными и выходными параметрами процесса осуществлялось методами статистического планирования экспериментов [7].

На технологический процесс получения фосфата цинка могут влиять следующие входные факторы: температура в реакционной зоне, количество и концентрация фосфорной кислоты и сульфата цинка, pH нейтрализации, продолжительность процесса взаимодействия и нейтрализации.

Основные уровни и интервалы варьирования входных факторов были подобраны по материалам [1—4] предварительного исследования.

Условия планирования и результаты опытов приведены в табл. 1, там же приводятся результаты трех параллельных опытов (33—35), поставленных в центре плана для определения ошибки эксперимента.

Матрица представляет полуреплику от дробного факторного эксперимента типа 2^{7-2} с определяющим контрастом $x_6 = x_4 \cdot x_3$; $x_4 = x_5 \cdot x_2$. Концентрация сульфата цинка не меняется и составляет 180 г/л.

По данным реализованных опытов оценены коэффициенты линейного регрессионного уравнения:

$$Y = 88,47 - 1,32x_1 + 0,229x_2 + 3,02x_3 - 2,61x_4 - 0,21x_5 + 3,78x_6 + 1,37x_7$$

Значимость соответствующих коэффициентов регрессии удовлетворяет условию: $|b_i| > t_{\alpha/2} \{b_i\}$, где t — табличное значение критерия Стьюдента с 95%-ной достоверностью при числе степеней свободы $f = 2$ ($t_{0,05} = 4,30$). Ошибка определения коэффициентов регрессии $S\{b_i\} = 0,56$, а $S\{y\}$ — ошибка эксперимента, определенная по данным трех параллельных опытов (33—35) в центре плана, равна 3,15.

Лаборатория
по изучению
и разработке
технологии
изготовления
и применения
металлических
материалов

Полученная линейная зависимость адекватно описывает экспериментальные результаты в исследованной локальной области факторного пространства $F = 2,3 < F_{0,05}(23,2) = 19,4$.

Анализируя полученные математические зависимости, можно определить переменные факторы, оказывающие преобладающее влияние на выход целевого продукта. Из них самыми значительными оказались температура, продолжительность процесса и конечное значение pH среды. В значительно меньшей мере выражено влияние концентрации фосфорной кислоты и количества сульфата цинка.

Таблица 1

Матрица планирования и результаты экспериментов

Факторы	I		Конц. H_3PO_4 , %	Конц. $NaOH$, %	Темп. процесса, $^{\circ}C$	Время синтеза, мин	Время нейтрализации, мин	Конечный pH нейтрализ.	К-во $ZnSO_4$ от стехиометрического	Выход	
	2	3								9	У расч.
										10	
Основ. уровень	60	15	60	20	20	20	5	1,05			
Интервал варьир.	10	5	10	5	5	10	1	0,05			
Верхний уровень + 1	70	20	70	25	30	6	1,1				
Нижний уровень - 1	50	10	50	15	20	4	1				
Кодовое обозначение переменных	x_1	x_2	x_3	x_4	x_5	x_6	x_7				
Опыты	1	+	+	+	+	+	+	+	+	97,72	92,8
	2	-	+	+	+	+	+	+	+	89,4	95,04
	3	-	-	+	+	+	+	+	+	90,15	90,11
	4	-	-	-	+	+	+	+	+	91,39	92,75
	5	-	-	-	-	+	+	+	+	67,03	79,7
	6	-	-	-	-	+	+	+	+	90,02	82,34
	7	-	-	-	-	+	+	+	+	77,9	76,51
	8	-	-	-	-	+	+	+	+	83,89	79,15
	9	-	-	-	-	+	+	+	+	91,55	90,46
	10	-	-	-	-	+	+	+	+	91,6	93,1
	11	-	-	-	-	+	+	+	+	84,79	87,27
	12	-	-	-	-	+	+	+	+	85,68	89,9
	13	-	-	-	-	+	+	+	+	93,87	90,18
	14	-	-	-	-	+	+	+	+	98,2	94,62
	15	-	-	-	-	+	+	+	+	87,33	88,79
	16	-	-	-	-	+	+	+	+	92,9	91,43
	17	-	-	-	-	+	+	+	+	94,28	91,8
	18	-	-	-	-	+	+	+	+	90,22	93,44
	19	-	-	-	-	+	+	+	+	97,45	93,35
	20	-	-	-	-	+	+	+	+	90,80	95,73
	21	-	-	-	-	+	+	+	+	70,12	77,2
	22	-	-	-	-	+	+	+	+	77,45	79,84
	23	-	-	-	-	+	+	+	+	78,80	79,49
	24	-	-	-	-	+	+	+	+	87,26	82,13
	25	-	-	-	-	+	+	+	+	90,98	87,96
	26	-	-	-	-	+	+	+	+	94,63	90,6
	27	-	-	-	-	+	+	+	+	92,42	90,27
	28	-	-	-	-	+	+	+	+	90,64	92,89
	29	-	-	-	-	+	+	+	+	90,77	89,48
	30	-	-	-	-	+	+	+	+	91,19	92,12
	31	-	-	-	-	+	+	+	+	89,47	91,77
	32	-	-	-	-	+	+	+	+	91,12	94,41
	33	-	-	-	-	+	+	+	+	66,35	
	34	-	-	-	-	+	+	+	+	81,76	
	35	-	-	-	-	+	+	+	+	87,78	

В первом эксперименте (табл. 1) достигается выход целевого продукта — 97,72%, но все входные факторы находятся на высшем уровне. Поэтому с целью уменьшения значения входных факторов сочли целесообразным рассчитать направление градиента для подбора основного уровня входных факторов, при этом фактор ξ_6 выбран за базисную переменную, остальные факторы менялись пропорционально базисному.

Таблица 2

Расчет и движение вдоль линии крутого восхождения

Факторы	ξ_1	ξ_2	ξ_3	ξ_4	ξ_5	ξ_6	ξ_7	Y_e	Y_p
Коэффициент регрессии b_i	-1,32 -13,2	0,029 1,145	3,02 30,2	-2,61 -13,05	-0,121 -1,21	3,78 3,780	1,37 0,0685		
$\Delta = \frac{P^*}{b_i P_i}$									
Новый основной уровень $P^* = P_i b_i \times \Delta$	60 -1,72	15 0,148	60 3,926	20 -1,696	20 -0,157	0,13 5	0,98 0,0089		
Окружение	-1,7	0,2	3,8	-1,7	-0,2	0,5	0,01		
Опыты:									
36	58,3	15,7	63,9	18,3	19,8	5,5	0,99	88,5	90,67
37	56,6	15,9	67,8	16,6	19,6	6	1,00	94,6	92,89
38	54,9	16,1	71,7	14,9	19,4	6,5	1,01	97,5	95,09
39	53,2	16,3	75,6	13,2	19,6	7	1,02	98,94	99,49

Расчет шагов крутого восхождения приведен в табл. 2. Экспериментальная проверка четырех точек (опыты 36—39) показала, что наилучший выход целевого продукта — 98,44% достигается на четвертом шаге (опыт 39). Однако осаждение фосфата цинка при значении фактора $\xi_6 = 7$ затрудняется из-за образования в системе гидроокиси цинка, которая загрязняет целевой продукт.

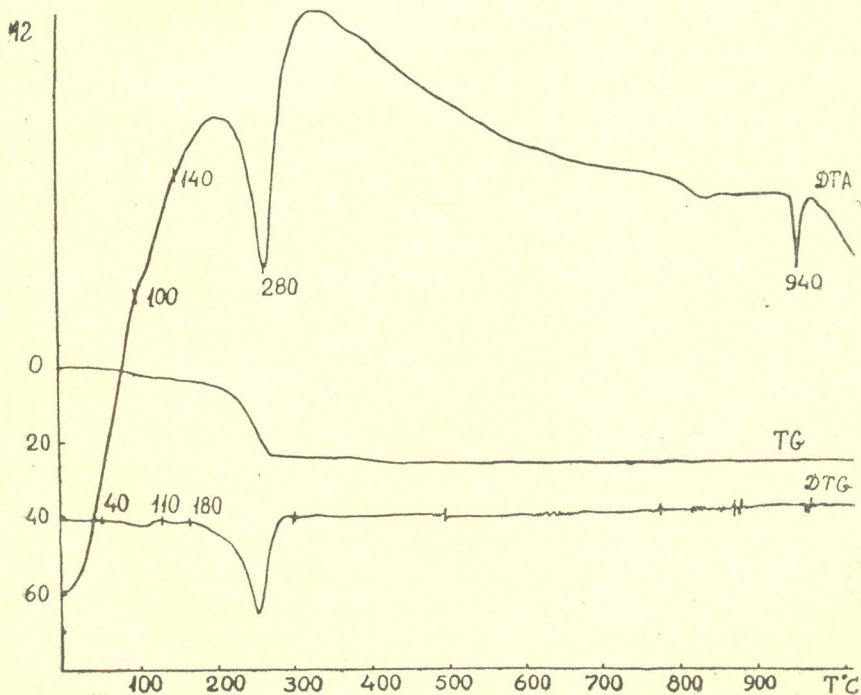


Рис. 1. Дериватограмма фосфата цинка



Удовлетворительный выход фосфата цинка — 97,5% получается в опытах 38, когда фактор $\xi_7 = 1,01$ и $\xi_6 = 6,5$. При уменьшении значений этих входных факторов $\xi_6 = 5,5—6$ и $\xi_7 = 0,99—1,0$ заметно падает выход целевого продукта из-за образования кислых фосфатов, растворимость которых выше основного фосфата цинка.

Данные термогравиметрического исследования полученных образцов фосфата цинка идентичны между собой. На кривых ДТА наблюдается 4 эндотермических эффекта; 3 из них находятся между 40—280° с максимумами 110, 180 и 280°; четвертый — в интервале 940—960°. Аналогичные эффекты имеют место и на кривых ДТГ и ТГ (рис. 1).

Первые два эффекта соответствуют удалению воды с максимумом при 110 и 180° . Третий эндоэффект при 280° соответствует удалению двух молекул кристаллизационной воды.

Четвертый эндоэффект при 940—960° соответствует полиморфному превращению, характерному для фосфата цинка.

Таким образом, на основе проведенного экспериментального исследования найдены значения входных факторов: температура процесса — 70, концентрация фосфорной кислоты — 55%, концентрация сульфата цинка — 180 г/л, количество сульфата цинка — 1,01 от стехиометрии, продолжительность процесса взаимодействия между фосфорной кислотой и сульфатом цинка 15 мин, концентрация едкого натрия — 16 г/л, продолжительность процесса нейтрализации 19 мин. и конечный pH среды 6,5 обеспечивают оптимальное ведение процесса получения ортофосфата цинка, гидрата с выходом 97,5%, химический состав которого (Zn — 46,5 — 47,8% и PO_4^{3-} — 43,5 — 45,1%) отвечает требованиям ТУ-6-10-1817-81.

Институт неорганической химии и электрохимии АН ГССР

Поступило 22.04.1983

3. გაფრინდაჲვილი, ჭ. კაჯაია, 3. რესამი, 5. ნიშარბაძე, დ. ოტიაზვილი,
ი. გრინეკაჲვილი

თუ თითა მოსახლეობის გრძების პროცესის ღია ტიპებია

၁၁၈၀၅

ქვლევათა შედეგების სტატისტიკური მეთოდების დამუშავებით განსაზღვრულია თუთასულფატისა და ფოსფორმჟავას ურთიერთმოქმედებით თუთასფატის მიღების ტექნოლოგიის ცვლადი პარამეტრების ოპტიმალური სიდიდეები:

ტემპერატურა 70°, ონსფორმეზვას კონცენტრაცია — 55 %, თუთია-
სულფატის კონცენტრაცია — 180 გ/ლ; მოლარული ფარდობა $\frac{\text{ZnSO}_4}{\text{H}_3\text{PO}_4} = 0,01$;
პროცესის ხანგრძლივობა — 15 წთ, ნატრიუმის ტუტის კონცენტრაცია —
16 გ/ლ, განეიტრალუების პროცესის ხანგრძლივობა — 19 წთ და გარემოს
ნეიტრალიზაციისა pH—6,5. დადგენილია, რომ ტექნიკულოგიური პროცესის
შეჩრჩეულ პირობებში განხორციელებით თუთიაფოსფატის გამოსავალი ორი
მოლეკულა წყლის თანაობისას 97,5 % შეაღენს. მიღებული ფოსფატი ქიმი-
ური შედგენილობით აქმაყოფილებს ტექნიკური პირობების (TY-6-10-1817-
81) მოთხოვნის მიზანს.

V. N. GAPRINDASHVILI, Z. Sh. KAJAYA, V. V. RUKHADZE,
N. A. NIZHARADZE, D. G. OTIASHVILI, I. G. BERIKASHVILI

THE OPTIMIZATION OF ZINC PHOSPHATE PRODUCTION PROCESS

Summary

On the base of treatment of experimental results of zinc sulphate and phosphoric acid interaction and by means of statistical methods, the optimum values of variable technological parameters of zinc — phosphate have been determined.

The temperature of the process is 70°, the concentration of phosphoric acid—55 %, concentration of zinc sulphate—180gr./per. lit., molar ratio—0,01, the duration of the process—15 minutes, concentration of sodium hydrate—16gr/per. lit, the duration of neutralization process—19 minutes.

When technological process is carried out in the named conditions, the yield of zinc phosphate (with two molecules of crystallization water) is 97,5 %.

The phosphate, obtained in such conditions, satisfies 6-10-1817-81 demands.

ლიტერატურა — REFERENCES

1. Беленький Е. Ф., Рискин И. В. Химия и технология пигментов. Л., изд: «Химия», 1974.
2. Информация о пигментах фирмы «Siegle», 1974.
3. Брауэр Г. Руководство по препаративной неорганической химии, М., 1956.
4. Патент Франции, 812002.
5. Chem. Obs. 74, № 24, р. 114, 127627 (1971).
- 6 Тр. Ленинградского научно-исследовательского и проектного института основной химической промышленности, 1, 27, 1973.
7. Налимов В. В., Чернова Н. А. Статистические методы планирования экспериментов, М., изд. «Наука», 1965.

КРАТКИЕ СООБЩЕНИЯ

УДК 549.67 : 541.183.03

Ш. И. СИДАМОНИДЗЕ, В. В. КОРШАК, Г. В. ЦИЦИШВИЛИ,
М. П. МАТУШЕВСКАЯ, Ю. П. КУДРЯВЦЕВ, К. М. МАРЧИЛАШВИЛИ

ИССЛЕДОВАНИЕ АДСОРБЦИОННЫХ СВОЙСТВ КАРБИНА

Углеродистые адсорбенты (уголь, сажа) исследуются давно и нашли широкое применение в сорбционной технике. В 1968 г. была получена новая аллотропная модификация углерода — карбин [1]. В настоящее время структура карбина достаточно детально исследована [2]. В специальной научной и патентной литературе отсутствуют данные, касающиеся адсорбционных и катализитических свойств этого аллотропного видоизменения углерода. Целью настоящей работы является восполнение этого пробела.

Измерение величин адсорбции и дифференциальных теплот адсорбции проводилось на высоковакуумной объемной адсорбционной установке и микрокалориметре французской фирмы «Setaram», как это описано в [3]. Приведенные в таблице 1 данные показывают, что карбин характеризуется высокой адсорбционной способностью. Изотерма адсорбции пропана, соответствующая карбину, лежит значительно выше, чем изотермы, характеризующие широко известные цеолитовые адсорбенты типа L и ZSM. Интерес вызывает рассмотрение $Q = f(\bar{a})$ изотерм: значения дифференциальных теплот адсорбции, полученные для системы «пропан-карбин» заметно превосходят величины Q , полученные для указанных цеолитов (при начальных заполнениях $Q = 19 \frac{\text{ккал}}{\text{моль}}$). Изотерма $Q = f(\bar{a})$, соответствующая карбину, имеет

несравненно широкое плато ($Q = 8,8 \frac{\text{ккал}}{\text{моль}}$). При высоких заполнениях

кривая имеет форму, характерную для $Q = f(\bar{a})$ цеолитовых систем.

В последующем будут сопоставлены и обсуждены адсорбционные свойства карбина и углеродистых адсорбентов — сажи и активированного угля.

Таблица 1

Адсорбция пропана на карбоне, цеолите L и ZSM

Адсорбент	Давление (р, тор)				
	0,001	0,02	0,5	5,0	45,0
	Адсорбция ($a, \frac{\text{моль}}{\text{г}}$)				
Цеолит L	0,0002	0,003	0,18	0,4	0,8
Цеолит ZSM-5	0,0003	0,005	0,3	0,5	1,0
Карбин	0,007	0,07	0,5	1,5	3,5

შ. სიდამონიძე, ვ. კორშაკი, გ. ციციშვილი, ე. მატიშვილესკაია, ი. კუდრიავცევი,
ქ. მარჩილაშვილი

კარბინის ადსორბციული თვისებების გამოკვლევა

რეზიუმე

მაღალვაკუუმური ადსორბციული დანადგარის და მიკროკალორიმეტრის შესწავლით მარტინია ნახშირბაძის ალოტროპიული სახეცვლილების — კარბინის ადსორბციული თვისებები პროპანის მიმართ. ნაჩვენებია, რომ კარბინის გააჩნია L და ZSM ტიპის ცეოლითებთან შედარებით უფრო მაღალი შთანთქმითი უნარი. კარბინზე პროპანის ადსორბციის დიფერენციალური სითბოების მნიშვნელობები შევსების მთელ ინტერვალში უფრო მეტია, ვიდრე ცეოლითების შემთხვევაში.

Sh. I. SIDAMONIDZE, V. V. KORSHAK, G. V. TSITSISHVILI,
M. P. MATUSHEVSKAYA, YU. P. KUDRIAVTSEV, K. M. MARCHILASHVILI

INVESTIGATION OF ADSORPTION PROPERTIES OF CARBIN

Summary

The measurement of adsorption values and differential heats of adsorption was carried out on vacuum adsorption set and on microcalorimeter, „Seteram“. The given data show, that carbin is characterised by high adsorption ability.

The isotherm of propan adsorption corresponding to carbin lies higher than isotherms characterising the well known zeolite adsorbents of L and ZSM type. The analysis of $Q=f(\bar{a})$ isotherms is of interest.

ლიტერატურა — ЛИТЕРАТУРА — REFERENCES

1. კორშაკ ვ. ვ., სმირნოვ ა. მ., კუდრავცევ იუ. პ. ვესტნიკ АН СССР, 1968, 9, 89.
2. მელინიჭენი ვ. მ., სლადკოვ ა. მ., ნიკულინ იუ. ნ. უსექსი ქიმია, 1982, 5, 736.
3. სიდამონიძე შ. ი., ციციშვილი გ. ვ., მარჩილაშვილი კ. მ. დან ასსრ, 1980, 250, 2, 339.



საქართველოს სსრ მეცნიერებათა აკადემიის აუცხ

ИЗВЕСТИЯ АКАДЕМИИ НАУК ГРУЗИНСКОЙ ССР

გიანის ცენტრი

1984, т. 10, № 3

СЕРИЯ ХИМИЧЕСКАЯ

УДК 543.544

Ф. И. БРОУЧЕК

ОСНОВНЫЕ ВОПРОСЫ КИНЕТИКИ СОРБЦИИ НА МОДИФИЦИРОВАННЫХ ЛИГАНДАМИ АНИОНИТАХ

Дальнейшее развитие физико-химических основ комплексообразовательно-сорбционной хроматографии на модифицированных лигандами анионитах [1—4] обуславливает необходимость разработки основных вопросов кинетики сорбции в хроматографических системах «ион металла-анионит, модифицированный лигандом».

Кинетический механизм сорбции в рассматриваемом виде хроматографии одновременно зависит от многих параметров: констант устойчивости конкурирующих комплексов, концентраций, природы и состояния лигандов-модификаторов и ионов сорбируемых металлов, а также сопутствующих им других ионов, состава и ионной силы раствора, физико-химических свойств и гранулометрического состава используемых анионитов, гидродинамического режима работы хроматографических колонок и др. Главной отличительной особенностью этого механизма является образование мало диссоциированных соединений в фазе анионита [1, 3], обуславливающее сдвиг равновесия реакций сорбции в направлении образования этих соединений.

Указанная особенность должна в первую очередь учитываться при анализе кинетики сорбции на модифицированных лигандами анионитах с использованием кинетических моделей и уравнений, известных для других видов сорбции и хроматографии [5—15, 20].

Наличие в рассматриваемых хроматографических системах конкурирующих комплексных соединений [3] указывает на то, что кинетика сорбции в этих системах, наряду с диффузионными процессами мас-сопереноса, должна характеризоваться также и химической кинетикой образования комплексов в фазе модифицированных лигандами анионитов. Этот вид кинетического механизма может оказывать особо заметное влияние на скорость процесса при сорбции инертных акво-комплексов ряда катионов—бериллия (II), хрома (III), железа (III) и др. на анионитах, модифицированных хелатообразующими лигандами (НТА, ЭДТА и др.), так как реакции образования комплексов таких катионов с лигандами указанного типа характеризуются относительно высокой величиной времени релаксации [16].

В соответствии с разработанными схемами механизма сорбции [1—3], общие уравнения основных механизмов кинетики сорбции ионов-металлов на модифицированных лигандами анионитах, наряду с установлением связи между концентрациями этих металлов в фазах анионита и хроматографируемого раствора во времени, должны также отражать физико-химическую природу сорбционного процесса в виде функциональных зависимостей соответствующих параметров этих уравнений от констант устойчивости сорбирующихся комплексов.

В общем виде уравнения внешне- и внутридиффузионной кинетики сорбции ионов металлов на модифицированных лигандами анионитах соответственно могут быть записаны следующим образом:

$$\frac{dC_{M(t)}}{dt} = \beta_1 (C_{M(0)} - C'_M) \quad (1)$$

$$\frac{dC_{M(t)}}{dt} = \beta_2 (Q_M - C_{M(t)}) \quad (2),$$

где $C_{M(t)}$ — концентрация сорбированного в фазе анионита металла к моменту времени t ,

$C_{M(0)}$ — концентрация металла в исходном растворе в начальный момент времени ($t = 0$),

C'_M — концентрация сорбируемого металла в растворе в момент времени t , равновесная с $C_{M(t)}$,

Q_M — концентрация сорбированного металла в фазе анионита при установившемся равновесии,

β_1, β_2 — кинетические коэффициенты соответственно внешней и внутренней диффузии.

В уравнении (1) $C'_M = f(C_{M(t)})$ определяется соответствующим для данной хроматографической системы уравнением изотермы сорбции [4], включающим константу устойчивости сорбируемого комплекса (K_y).

Q_M в уравнении (2) определяется уравнением, выражающим зависимость $Q_M = f(K_y)$ [4] для данной системы.

Реакции образования комплексов в фазе модифицированных лигандами анионитов [1, 3] в общем виде можно рассматривать как обратимые реакции нуклеофильного замещения лигандов, протекающие по бимолекулярному механизму S_N2 [16].

В соответствии с общими положениями химической кинетики [17—19], для случая, когда концентрация ионов сорбируемого металла в контактирующем с сорбентом исходном растворе в начальный момент времени ($t = 0$) равна $C_{M(0)}$, а концентрация продуктов реакции равна нулю, дифференциальное уравнение скорости бимолекулярной обратимой реакции комплексообразовательной сорбции в рассмотренных ранее [3] хроматографических системах с учетом установленных нами функциональных связей константы равновесия ($K_{\text{равн}}$) с константой устойчивости сорбируемого комплекса (K_y) [4] может быть записано в следующем виде:

$$\frac{dC_{M(t)}}{dt} = (k_1 - k_2) \left[C_{M(t)}^2 - \frac{2C_{M(0)} \cdot \varphi}{\varphi - 1} \cdot C_{M(t)} + \frac{C_{M(0)}^2 \cdot \varphi}{\varphi - 1} \right], \quad (3)$$

$$\text{где } k_1 = \frac{k'_1 \cdot P_1}{V}; \quad k_2 = \frac{k'_2 \cdot P_2}{V};$$

k'_1 и k'_2 — константы скоростей соответственно прямой и обратной реакций,

V — объем данной системы,

P_1 и P_2 — стерические множители, учитывающие пространственные препятствия для осуществления соответственно прямой и обратной реакций,

φ — выражение, описывающее функциональную связь $K_{\text{равн}} = f(K_y)$ в хроматографической системе соответствующего типа [4].

Уравнение (3) может быть преобразовано:

$$\frac{dC_{M(t)}}{dt} = (k_1 - k_2)(C_1 - C_{M(t)})(C_2 - C_{M(t)}), \quad (4)$$

где C_1 и C_2 — корни квадратного уравнения в квадратных скобках уравнения (3).

Эти корни равны

$$C_{1,2} = \frac{C_{M(0)}(\varphi \pm \sqrt{\varphi})}{\varphi - 1} \quad (5)$$

После разделения переменных в уравнении (4) и интегрирования:

$$k_1 - k_2 = \frac{1}{t} \cdot \frac{1}{C_1 - C_2} \ln \frac{C_2(C_1 - C_{M(t)})}{C_1(C_2 - C_{M(t)})} \quad (6)$$

Выражения (5) и (6) в сочетании с выведенными нами зависимостями $K_{\text{равн}} = f(K_y)$ для комплексообразовательно-сорбционных хроматографических систем различных типов [4] и с выражением $K_{\text{равн}} = \frac{k_1}{k_2}$

(при условиях $P_1 = P_2$ и $V = \text{const}$) могут быть использованы для определения констант скоростей прямой и обратной реакций комплексообразовательной сорбции в конкретных хроматографических системах.

Для анализа кинетического механизма сорбции в конкретной комплексообразовательно-сорбционной хроматографической системе и последующего выбора вида уравнения кинетики для данной системы необходимо предварительно различными независимыми методами [5, 11—13, 15] выявить стадию, лимитирующую скорость процесса сорбции в исследуемом диапазоне изменения основных параметров этого процесса в условиях, максимально приближенных к реальным условиям сорбции в изучаемой системе. Скорости процесса диффузии и химической реакции следует оценивать раздельно.

Грузинский политехнический институт
им. В. И. Ленина

Поступило 10.01.1984

Ч. ბრუშევაძე

ლიგანებით მოდიფიცირებულ ანიონიტებზე სორბციის პინგინის
გრძელები და სათანადო პარამეტრების ფუნქციონალურ დამოკიდებულებას სორბირებული
კომპლექსის მდგრადობის კონსტანტასთან.

რეზიუმე

მოყვანილია ლიგანდებით მოდიფიცირებულ ანიონიტებზე მეტალთა სორბციის დიფუზიური და ქიმიური კინეტიკის განტოლებები, რომლებიც შეიცავენ სათანადო პარამეტრების ფუნქციონალურ დამოკიდებულებას სორბირებული კომპლექსის მდგრადობის კონსტანტასთან.

F. I. BROUCHEK

THE PRINCIPAL PROBLEMS OF SORPTION KINETICS ON THE MODIFIED BY LIGANDS ANIONITES

Summary

The equations of diffusion and chemical kinetics of metal ions sorption on the modified by ligands anionites including functional dependences of the corresponding parameters on the resistance constants of the sorbate complex are given.

1. Броучек Ф. И. Известия АН ГССР, сер. хим., 1976, т. 2, № 4, 295.
2. Броучек Ф. И. Известия АН ГССР, сер. хим., 1977, т. 3, № 2, 103.
3. Броучек Ф. И. Известия АН ГССР, сер. хим., 1984, т. 10, № 1, 20.
4. Броучек Ф. И. Известия АН ГССР, сер. хим., 1984, т. 10, № 3, 167.
5. Гельферих Ф. Иониты. М., ИЛ, 1962.
6. Тимофеев Д. П. Кинетика адсорбции, М., Изд. АН СССР, 1962.
7. Голубев В. С., Панченков Г. В. ЖФХ, 1964, т. 38; вып. 1, 228.
8. Голубев В. С., Веницианов Е. В., Гарibyanц А. А. Теор. осн. хим. техн., 1980, т. 14, № 4, 607.
9. Чмутов К. В., Маторина Н. Н., Сафонова Н. Д. сб. Теория ионного обмена и хроматографии. Изд. Наука, М., 1968, 124.
10. Диффузионные процессы в ионитах (под ред. Н. И. Николаева), М., НИФХИ им. Л. Я. Карпова, 1973.
11. Кокотов Ю. А., Пасечник В. А. Равновесие и кинетика ионного обмена. Изд. Химия, Л., 1970.
12. Самсонов Г. В., Тростянская Е. Б., Елькин Г. Э. Ионный обмен. Сорбция органических веществ. Изд. Наука, Л., 1969.
13. Сенявин М. М. Ионный обмен в технологии и анализе неорганических веществ. М., Химия, 1980.
14. Салладзе К. М., Копылова-Валова В. Д. Комплексообразующие иониты (комплекситы), М., Химия, 1980.
15. Иониты в химической технологии (под ред. Б. П. Никольского и П. Г. Романкова), Л., Химия, 1982.
16. Басоло Ф., Пирсон Р. Механизмы неорганических реакций (под ред. А. Н. Ермакова), М., Мир, 1971.
17. Бенсон С. Основы химической кинетики. М., Мир, 1964.
18. Эмануэль Н. М., Кнорре Д. Г. Курс химической кинетики, М., ВШ, 1969.
19. Панченков Г. М., Лебедев В. П. Химическая кинетика и катализ, М., Химия, 1974.
20. Рачинский В. В. Введение в общую теорию динамики сорбции и хроматографии, М., Наука, 1964.

УДК 628.16.09

Г. Г. ЧИРАКАДЗЕ, Д. И. БОХУА, Н. П. ГОНГАДЗЕ

ОЧИСТКА ВОДНО-НЕФТЯНЫХ РАСТВОРОВ ОТ ПОВЕРХНОСТЬНО-АКТИВНОГО ВЕЩЕСТВА ИМФ-1

В настоящее время проблема охраны окружающей среды от загрязнений очевидна и неоспорима. Вода является наиболее уязвимой частью биосфера, так как все химические соединения, сбрасываемые в окружающую среду и продукты их распада в конечном счете, как правило, попадают в водоемы. Учитывая, что вода широко эксплуатируется в народном хозяйстве и быту и является уникальной средой, населенной миллионами живых организмов, вопросу очистки водной среды уделяется все возрастающее внимание исследователей во всем мире [1].

Особый вред водным бассейнам наносят органические соединения, в том числе нефть, нефтепродукты, поверхностью-активные вещества (ПАВ) и др. Существующие способы очистки сбросовых вод, несмотря на их разнообразие, не удовлетворяют растущие потребности в чистой воде [2, 3]. ВНИИАТ разработан прибор для автоматического контроля содержания нефти, который используется на танкерах при анализе сбросовых промывных вод [4].

Следует отметить, что для промывки нефтяных танкеров повсеместно используются различные ПАВ, небольшие количества которых полностью нарушают работу широко эксплуатируемого прибора.

Представляет интерес изыскание возможности отделения ПАВ от водно-нефтяных смесей.

Объектами исследования являлись: препарат ИМФ-1 (ТУ 38—10918—78), который является композицией ПАВ (сланцевый алкилбензолсульфонат натрия, сульфонат НП-2 и вторичные алкилсульфаты натрия, взятые в соотношении 0,5 : 1,0 : 0,5, pH 1% раствора не менее 9,0) и нефть Норийского и Мирзаанского месторождений ГССР.

Очистка от ИМФ-1 проводилась адсорбционным методом на колонках высотой 50—100 см, Q 16 мм, заполняемых различными адсорбентами: силикагель (Al_2O_3 — 213, 3%, SiO_2 — 86,7%), цеолит Дзегвского месторождения ГССР и березовый активированный уголь (БАУ). Насыпной объем поглотителя 25—50 см³.

Анализы анионоактивного ПАВ—ИМФ-1 осуществлялся весовым, фото- и спектрофотометрическим методами [5, 6], нефти—весовым методом [5]. Поглотители дополнительно активировались их кипячением в течение 6 часов с 20% соляной кислотой. Опыты проводились на модельных системах: растворы ИМФ-1 в воде (1—3 мг/л) и растворы ИМФ-1 (1—3 мг/л) и нефти (50—100 мг/л) в воде. Ошибки используемых методов $5 \pm 10\%$. В исследуемых образцах определялось содержание нефти и ИМФ-1 до и после пропускания через колонку, заполненную адсорбентом.

Адсорбция ИМФ-1 на силикагеле и цеолите не превышает 60—75% при комнатной температуре. Цеолит относительно быстро отрав-

ляется. Полная очистка водных растворов от ИМФ—1 достигнута на свежеактивированном БАУ. В таблице приведены результаты очистки водно-нефтяных растворов от ИМФ.

Таблица 1

Содержание ИМФ—1		Содержание нефти		Очистка от ИМФ—1, %	Потеря нефти, %
до (а) и после (б) пропускания через колонку, мг/л		до (а) и после (б) пропускания через колонку, мг/л			
a	б	a	б		
1.0	—	10	10	100	—
1.0	—	10	10	100	—
2.0	—	10	10	100	—
1.0	0.05	50	50	95	—
1.0	—	100	95	100	5
1.0	—	100	100	100	—
3.0	0.10	50	99	95	5

Таким образом, при использовании в качестве адсорбента свежеактивированного БАУ достигнута полная очистка водно-нефтяных растворов от ИМФ—1 при сохранении содержания нефти.

Грузинский политехнический институт
им. В. И. Ленина

Поступило 12.06.1983

გ. ბირაჯაძე, დ. ბოჩუა, ნ. გონგაძე

ნავთობ-წყლიან სსნარების გაფხვედა ზედაპირულად აპტიური
ნაკრისის იმფ-1-საგან

რეზიუმე

შესწავლითა სილიკაგელის, ქეგვის საბადოს ცეოლითის და არყის ხის ნახშირის აღსორბციული თვისებები ზედაპირულად აქტიური იმფ-1-ის პრეპარატის მიმართ.

დადგენილია წყალხსნარებისა და ნავთობ-წყლიანი სისტემების იმფ-1-გან სრული გაშენდის ოპტიმალური პირობები.

G. G. CHIRAKADZE, D. I. BOCHUA, N. P. GONGADZE

THE PURIFICATION OF WATER-OIL SOLUTIONS FROM THE CAPILLARY ACTIVE SUBSTANCE ИМФ-1

Summary

The absorption properties of silicagel, zeolite from Dzegvi deposits and pitch activated carbon with respect to capillary active substance have been studied.

The optimal conditions for purification of water and water-oil systems from ИМФ-1 were established.

- Химия промышленных сточных вод. Перев. с англ., ред. Рубин А. Д., М., изд. «Химия», 359, 1983.
- Пушкарев В. В., Трофимов Д. И. Физико-химические особенности очистки сточных вод от ПАВ, М., изд. «Химия», 46, 1975.
- Аширов А. Ионнообменная очистка сточных вод, растворов и газов. Л., изд. «Химия», 45, 1975.
- Разработка инструментальной методики для измерения нефти с сливаемых судов. Заключительный отчет НПО Аналитприбор, Тбилиси, З—45, 1979.
- Унифицированные методы анализа вод. Ред. Лурье Ю. Ю., М., изд. «Химия», 350, 1973.
- Ляликов Ю. С. Физико-химические методы анализа. М., Гос. изд. хим. лит. 71—107, 222—237, 1960.

УДК 548.5.66.001.536.755

Я. Н. ТАВАРТКИЛАДЗЕ, М. К. ЭРИСТАВИ, М. Г. БЕРЕЖИАНИ

МЕТОДИКА ПРОГНОЗИРОВАНИЯ ПРОДОЛЖИТЕЛЬНОСТИ ПРОЦЕССА КРИСТАЛЛИЗАЦИИ ИЗ РАСТВОРОВ

Теоретическое прогнозирование продолжительности процесса кристаллизации для различных систем предлагается проводить на основе кинетической формулы и необходимой минимальной исходной информации. В качестве исходной информации желательно иметь экспериментальные данные по скорости изменения линейного размера или массы кристаллов во времени в рабочем диапазоне технологического режима. В настоящее время накоплен достаточный экспериментальный материал для различных кристаллизуемых систем по коэффициенту скорости К линейного роста, пересыщению ΔC при соответствующих значениях температур [1—3]. В таблице приведены исходные экспериментальные данные и расчетные величины для кристаллизуемых систем. Расчеты основных параметров процесса кристаллизации выполнены на основе следующей кинетической формулы [4]:

$$G = G_{\max} \left(1 - e^{-A_1 t}\right)^3 \quad (1)$$

или относительно изменения линейного размера:

$$r = r_{\max} \left(1 - e^{-A_1 t}\right) \quad (2)$$

Здесь:

$$A = K \Delta C \left(\frac{\varepsilon}{g_{\max} \rho^2}\right)^{\frac{1}{3}} \quad (3)$$

$$A_1 = \frac{K \Delta C}{3 r_{\max} \rho} \varepsilon^{1/3} \quad (4)$$

$$\bar{g} = 0,59 g_{\max} \quad (5)$$

$$\bar{r} = 0,84 r_{\max} \quad (6)$$

G , G_{\max} — текущее и максимальное значение массы кристаллизуемого вещества;

\bar{g} , g_{\max} , \bar{r} , r_{\max} — среднее и максимальное значения массы и линейного размера единичных кристаллов. Средние и максимальные значения величин связаны между собой статистическими коэффициентами [4];

ε — фактор, учитывающий геометрическую форму кристаллического вещества [5]. В расчетах принята кубическая форма растущего кристалла ($\varepsilon = 216$).

Исходные данные и расчетные величины процесса кристаллизации

Наименование кристаллов и заданный средний линейный размер, $\bar{r} \times 10^{-3}$ м	Исходные данные				Расчетные величины		
	ρ , кг/м ³	t, °C	K, $\times 10^{-5}$ м/с	ΔC , кг/м ³	A, $\times 10^{-4}$ с ⁻¹	τ , $\times 60$ с	G, кг
NaNO ₃ · 1,3	2257	25	4,20	6 10 13*	1,44 2,40 3,22	212 127 97	670
Na ₂ SO ₄ · 10H ₂ O · 0,5	1464	25	6,42	10 20 30*	14,7 29,5 44,5	20 10 7	353
NH ₄ NO ₃ · 0,3	2700	20	0,42	10 14 17*	0,87 1,22 1,48	351 250 206	535
(NH ₄) ₂ SO ₄ · 0,5	1769	30	1,64	10 12 15*	2,21 2,65 3,33	138 115 92	328
CuSO ₄ · 5 H ₂ O · 0,5	2286	30	1,81	10 20 24*	2,71 5,43 6,54	112 56 47	236
MgSO ₄ · 7 H ₂ O · 0,5	1680	20	4,59	4 8 10*	3,67 7,34 9,27	83 42 33	305

Для каждого кристаллизируемого вещества значения абсолютного пересыщения дифференцированы с учетом их предельных величин, отмеченных звездочкой. Максимальное количество кристаллизируемой массы G_{\max} определяется по значению начальной концентрации и объема раствора:

$$G_{\max} = C_h \cdot V \quad (7)$$

Объем раствора принят равным 1 м³. Начальная концентрация рассчитана по формуле:

$$C_h = C_t + \Delta C^*, \quad (8)$$

где C_t — равновесная концентрация исследуемых систем при температурах, приведенных в таблице.

На основе формул (1) — (8) и исходных данных определены значения комплексного коэффициента A, продолжительность процесса кристаллизации τ и ожидаемого выхода твердой фазы G.

Предлагаемая методика дает возможность теоретически прогнозировать продолжительность процесса кристаллизации и ожидаемый выход твердой фазы. Последовательность определения технологических параметров может быть положена в основу алгоритма расчета для анализа и управления процессом массовой кристаллизации с применением ЭВМ.

სსერებიდან კრისტალიზაციის პროცესის ხანგრძლივობის პროგნოზირების
გეთოდიკა

რეზიუმე

კრისტალის ზრდის სიჩქარისა და ხსნარების გადაჯერების მონაცემების
მიხედვით კინეტიკური ფორმულის საფუძველზე შემოთავაზებულია კრისტა-
ლიზაციის პროცესის ხანგრძლივობისა და მყარი ფაზის რაოდენობის პროგ-
ნოზირების მეთოდიკა კრისტალის დავალებული სამუალო ხაზოვანი ზომის მი-
საღებად.

YA. N. TAVARTKILADZE, M. K. ERISTAVI, M. G. BEREZHIANI

THE METHOD OF PROGNOSIS OF DURATION OF CRYSTALLIZATION PROCESS FROM SOLUTIONS

Summary

On the base of minimal initial information on the meanings of line-crystal growth-rate and over-saturation of solutions the method of prognosis of crystallization process duration and the yield of solid phase with the average statistic size of crystals was suggested, using special corresponding kinetic formulas.

ლიტერატურა — ЛИТЕРАТУРА — REFERENCES

1. Хамский Е. В. Кристаллизация в химической промышленности, М., 1979, 343.
2. Сосова Н., Nyvlt J. Chem. promisl., Bd. 22/47, 1972, № 4. 165.
3. Mullin J. N. Crystallisation, Butterworths, London, 1972, 480.
4. Тавартиладзе Я. Н., Гоцадзе Г. А. Докл. АН СССР, 1980, 252, № 5, 1196.
5. Гоцадзе Г. А., Тавартиладзе Я. Н. Технолог. основы хим. техн., 1967, 1, № 6, 876.



УДК 546 73,74 + 547.822

А. М. МАМУЛАШВИЛИ, Ц. Л. МАХАТАДЗЕ, М. Г. ЦИНЦАДЗЕ

КООРДИНАЦИОННЫЕ СОЕДИНЕНИЯ КОБАЛЬТА (II) И НИКЕЛЯ (II) С ТРИЦИАНМЕТАНИДОМ И АМИДАМИ ПИРИДИНКАРБОНОВЫХ КИСЛОТ

Цель работы — синтез и исследование координационных соединений кобальта (II) и никеля (II) с трицианметанидом и амидами никотиновой и изоникотиновой кислот*.

Для синтеза смешанных координационных соединений кобальта (II) и никеля (II) с трицианметанидом и амидами никотиновой и изоникотиновой кислот использовались $\text{Co}(\text{NO}_3)_2 \cdot 6\text{H}_2\text{O}$ и $\text{Ni}(\text{NO}_3)_2 \cdot 6\text{H}_2\text{O}$ марки «ч. д. а».

Синтезы проводили в дважды очищенном этаноле.

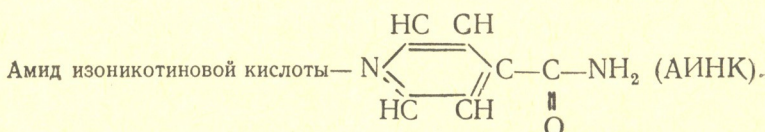
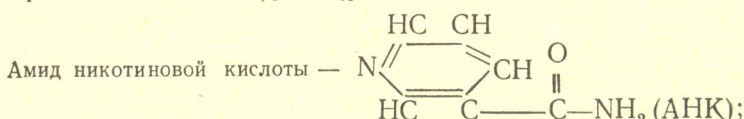
Для установления химического состава полученных комплексов металлы определяли трилонометрическим методом [1], а азот — микрометодом. Состав синтезированных комплексов соответствует приведенным в таблице формулам.

Таблица 1

Результаты расшифровки ИК-спектров поглощения синтезированных соединений

Структура	Значения ν (CN), см^{-1} по [2]	Наши данные		
		ν (CN), см^{-1}	формула соединения	ν гетероцикла, см^{-1}
$M \leftarrow N \equiv C \cdots C \begin{cases} \diagup \\ \diagdown \end{cases} \begin{matrix} C \equiv N \rightarrow M \\ C \equiv N \end{matrix}$	2186—2000			
	2240—2250			
$M \leftarrow N \equiv C \cdots C \begin{cases} \diagup \\ \diagdown \end{cases} \begin{matrix} C \equiv N \rightarrow M \\ C \equiv N \rightarrow M \end{matrix}$	2200—2220	2208	$\text{Co}[\text{C}(\text{CN})_3]_2(\text{AHK})_2$	1610, 1200
	2250—2270	2250		1068, 860, 815
		2220	$\text{Ni}[\text{C}(\text{CN})_3]_2(\text{AHK})_2$	1610
		2265		
		2204	$\text{Co}[\text{C}(\text{CN})_3]_2(\text{AИНК})_2$	1615, 1228
		2266		1028, 860, 800

* Трицианметанид ион — $[\text{C}(\text{CN})_3]^-$.



Синтезированные соединения устойчивы на воздухе и хорошо растворяются в диметилформамиде, диметилсульфоксиде и диметилакетамиде.

С целью установления способа координирования трицианметанид-групп и молекул АНК и АИНК, были исследованы их ИК-спектры поглощения. В таблице даются результаты расшифровки спектров поглощения этих комплексов.

Известно [2], что при координировании трицианметанид-ионов с металлами особенно заметны изменения в области валентных колебаний $\nu(\text{CN})$.

В таблице приведены возможные структуры и соответствующие частоты валентных колебаний $\nu(\text{CN})$ по данным литературы и наших исследований. Как видно из таблицы, частоты валентных колебаний $\nu(\text{CN})$ групп $[\text{C}(\text{CN})_3]^-$ находятся в области $\sim 2204 - 2260 \text{ см}^{-1}$, которые сравнимы с $\nu(\text{C}) = 2200 - 2220$ и $2250 - 2270 \text{ см}^{-1}$ [2]. Сдвиги частот в сторону высоких волновых чисел указывают на образование тридентатной структуры [2] в исследуемых нами комплексах.

Частота колебаний гетероцикла около $\sim 800 - 860$; $\sim 1025 - 1070$; $\sim 1200 - 1230$; $\sim 1610 - 1625 \text{ см}^{-1}$ (и некоторые другие частоты) несколько изменяются при переходе от свободных к координированным (чаще всего частоты в указанных областях слегка повышаются при образовании комплексов). Следовательно, координация молекул АНК и АИНК происходит через гетероциклический атом азота [3].

Частоты колебаний $\nu(\text{NH})$ групп NH_2 в интервале $\sim 3040 - 3530 \text{ см}^{-1}$ не изменяются при переходе от свободных молекул АНК и АИНК к координированным. Это обстоятельство указывает на то, что АНК и АИНК не координируются металлами через атомы азота групп NH_2 [3].

В координации с металлами не участвуют также карбонильный кислород молекул АНК и АИНК ($\nu(\text{CO})$) проявляются в области $1695 - 1700 \text{ см}^{-1}$, что не изменяется по сравнению с $\nu(\text{CO})$ некоординированных молекул АНК и АИНК).

Таким образом, в исследуемых нами комплексах группы $[\text{C}(\text{CN})_3]^-$ — тридентатные, а молекулы АНК и АИНК — монодентатные и координируются с металлами через атомы азота гетероцикла.

Грузинский политехнический институт
им. В. И. Ленина

Поступило 28.04.1983

ა. მაშლავიშვილი, ვ. გახათაძე, გ. ცინცაძე

კომპლექსის (II) და ნიკელის (II) კოორდინაციული ნაერთები
ტრიფინაციაზე მომდევნო და პირდოვანი აზოდებას

რეზიუმე

ეთანოლისნარებში სინთეზირებულია კობალტის (II) და ნიკელის (II) ჟერეული ტიპის კოორდინაციული ნაერთები ტრიციანმეთანიდთან და პირდონიკარბონმჟავების ამიდებთან $M[\text{C}(\text{CN})_3]_2\text{L}_2$, სადაც $M=\text{Co(II)}$, Ni(II) , ხოლო $L=$ ნიკოტინმჟავას და იზონიკოტინმჟავას ამიდებია.

შთანთქმის ინფრაწითელი სპექტრების დახმარებით დადგენილია, რომ L
ცენტრალურ კომპლექსურმომექმნელ იონებს უკავშირდება ჰეტეროცისტურ ფუნქციას ასრულებს.

A. M. MAMULASHVILI, Ts. L. MAKHATA DZE, M. G. TSINTSADZE

COORDINATION COMPOUNDS OF COBALT (II) AND NICKEL (II) WITH TRICYANOGEN METHANIDE AND AMIDES OF PYRIDINECARBOXYLIC ACIDS

Summary

Mixed coordination compounds of cobalt (II) and nickel (II) with amides of nicotinic and isonicotinic acids, tricyanogen methanide $M [C(CN)_3]_2 L_2$, where M -Co (II), Ni(II), and L are amides of nicotinic and isonicotinic acids, have been synthesized. IR-absorption spectra of the synthesized compounds were studied. It has been found that in all compounds L coordinate with metals via nitrogen atoms of the heterocycle, while acidoligands perform the tridentate function.

ლიტერატურა — ЛИТЕРАТУРА — REFERENCES

1. Пришибил Р. Комплексоны в химическом анализе, М., 1960.
2. Химия псевдогалогенидов (под редакцией А. М. Голуба, Х. Келлера, В. В. Скопенко), Киев, 1981.
3. Накамото К. Инфракрасные спектры неорганических и координационных соединений, М., 1966.

УДК 547.92

Л. К. КАВТАРАДЗЕ

СИНТЕЗ 5 α -ПРЕГН-16-ЕН-3 β -ОЛ-20-ОНА ИЗ ТИГОГЕНИНА

Стероидный сапогенин-тигогенин ((25R)-5 α -спиростан-3 β -ол), получаемый из культивированного в Грузии растения *Uccsa gloriosa*, признан ценным сырьем для синтеза стероидных гормональных препаратов [1]. В связи с этим, за последние годы в нашей стране начаты интенсивные работы по синтезу гормональных препаратов из данного сырья.

На первой стадии синтеза гормонов тигогенин превращают в 5 α -прегн-16-ен-3 β -ол-20-он или его ацетокси-производное.

Синтез прегненононов из стероидных сапогенинов спиростанового ряда обычно осуществляется классическим методом [2], основанным на принципе окислительной деградации сапогенинов.

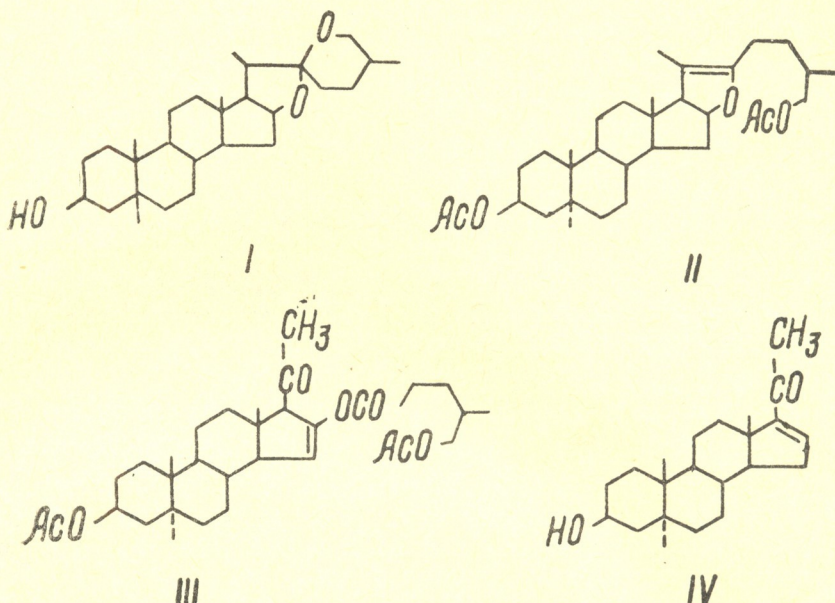
Процесс получения прегненонона состоит из четырех основных стадий [3—6]. Сапогенин под действием ангидрида уксусной кислоты переходит в соответствующий псевдосапогенин, который окисляется хромовой кислотой в «диозон», последний подвергается кислотному или щелочному гидролизу, и образуются соответственно 3-ацетокси или 3-гидрокси производные прегненонона.

Во Всесоюзном научно-исследовательском химико-фармацевтическом институте разработан промышленный способ расщепления тигогенина в ацетат 5 α -прегн-16-ен-3 β -ол-20-она, который в ходе последовательных превращений не требует выделения и очистки псевдотигогенина и «диозона» [7].

Нами был осуществлен синтез 5 α -прегн-16-ен-3 β -ол-20-она, где гидролиз «диозона» без предварительной очистки проводили в органической среде, в частности, в ацетоне. Аналогичный способ проведения гидролиза известен и применялся при синтезе прегн-5,16-ен-3 β , 11 α -ол-20-она из 11 α -гидроксиогенина [5].

Предложенный способ заключается в следующем: в автоклав загружали 50 г тигогенина (I), 100 мл уксусного ангидрида и 20 мл уксусной кислоты. Автоклав нагревали до 190° и выдерживали при этой температуре 4 часа; при этом образуется диацетат псевдотигогенина (II). После охлаждения жидкость переносили в трехгорлую колбу, разбавляли 285 мл уксусной кислоты и 25 мл воды, нагревали до 40° в течение 15 мин и затем охлаждали до 15°. К охлажденному раствору добавляли 22,2 г хромового ангидрида в 300 мл 90%-ой уксусной кислоты, перемешивали в течение 30 мин и вливали в кристаллизатор. После разбавления водой «диозон» (III) отделялся в виде смелообразной массы. Воду декантировали, сырой «диозон» без дальнейшей очистки переносили в трехгорлую колбу и гидролизировали в течение 5 часов в среде — 300 мл ацетона, 160 мл воды и 28 г едкого натра. После окончания реакции из-за различия в плотности образовалось два слоя, которые были разделены с помощью делительной воронки. К верхнему слою добавляли 150 мл воды, выделившийся осадок отфильтровы-

вали, промывали водой до нейтральной реакции, высушивали и перекристаллизовывали из гексан-метанола. При этом получали 15 α -прегн-16-ен-3 β -ол-20-она (IV). Т. п. 204—206°C (лит: 206—208°) [6—9].



Химический состав полученного вещества был подтвержден данными ИК- и ЯМР-спектрального анализов. ИК-спектры имели максимумы поглощения в областях 1050, 1650, 1668, 3500 см⁻¹, ЯМР — спектры в CDCl₃ имели следующие параметры: = C₁₆H; S; IH; 6,52 м. д., C₁₈; S; IH; 0,76 м. д., C₁₉; S; IH; 0,82 м. д., CO—CH₃; S; 3H; 2,16 м. д., H₃ уширенный синглет, 3,44 м. д.

ИК-спектры исследуемых образцов снимали на спектрофотометре UR—20 в области 400—3600 см⁻¹ в виде тонкого слоя, а спектры ЯМР — на приборе R — 32 «Perkin Elmer».

Институт фармакохимии
им. И. Г. Кутателадзе АН ГССР

Поступило 04.11.1983

ლ. ჩავთარაძე

ტიგოზენიდან 5 α -პრეგ-16-ენ-3 β -ოლ-20-ონის სინთეზი

რ ე ზ ი უ მ ე

დაფენილია ტიგოზენინის გარდაქმნის შესაძლებლობა ფსევდოტიგოზენინის დიაცეტატად ძმარმუავა ანჰიდრიდისა და ძმარმუავას თანაობისას. ამ უკანასკნელის CrO₃-ით დაუანგვის შედეგად მიღებული „დიოზინის“ ტუტე ჰიდროლიზი მიმდინარეობს ორგანულ არეში, კერძოდ, აცეტონში. ამ დროს არაა აუცილებელი ჩავაჭიდის შუალედური პროცესი „დიოზინის“ გასუფთავება, რაც საგრძნობლად ამარტივებს სინთეზის პროცესს.

SYNTHESIS OF 5α -PREGN-16-EN-3 β -OL-20-ONE FROM TIGOGENIN

Summary

Tigogenin is converted into pseudotigogenin diacetate in the presence of acetic anhydride and acetic acid. As a result of the oxidation of the latter by CrO_3 , "diozone" is obtained and its hydrolysis is held in organic medium of acetone. At the same time it is not necessary to purify the intermediate product "diozone" of the reaction, which considerably simplifies the process of the synthesis.

ლიტერატურა — REFERENCES

1. Кемертелидзе Э. П., Пхейдзе Т. А. Химико-фармацевтический журнал, 1972, 44, 12.
2. Marker R. E., Rothman E. S., Wittle E. L., Grooks H. M., Jones E. M. J. Am. Chem. Soc., 1940, 60, 650.
3. Neher R., Desaulles P., Visher E., Wiland P., Witstein A. Helv. Chim. Acta, 1958, 41, 1667.
4. Wall M. E., Kenney H. E., Rothman E. S. J. Am. Chem. Soc., 1955, 77, 5, 5665.
5. Halpern O., Djerassi C. J. Am. Chem. Soc., 1959, 81, 2, 439.
6. Allirger N. L., Da Rooge M. A. J. Am. Chem. Soc., 1961, 77, 20, 4256.
7. Rothman E. S., Wei M. E. J. Org. Chem., 1960, 25, 8, 1396.
8. Меншова Н. И., Гриненко Г. С., Сорокина Н. П., Суворов Н. Н. Авт. св. 389087, Бюлл. изобретений, 1979, 29, 90.
9. Klyne W., Schacer B., Marrian G. E. Biochem. J., 1948, 43, 231.



УДК 547.56 : 55.095.22

Г. О. ЧИВАДЗЕ, Л. З. ЧХЕИДЗЕ

АЛКИЛИРОВАНИЕ АНИЛИНА МЕТАНОЛОМ НА МОДИФИЦИРОВАННЫХ СИНТЕТИЧЕСКИХ ЦЕОЛИТАХ

Метил-производные анилина и толуидины применяют для синтеза дифенил- и трифенилметановых, тиазиновых и некоторых других азокрасителей.

В последние годы в нефтехимической промышленности в качестве катализаторов нашли широкое применение синтетические цеолиты.

Однако, имеющиеся до настоящего времени сведения о применении цеолитных катализаторов касаются, главным образом, реакции крекинга, изомеризации, окислительного аммонолиза, алкилирования углеводородов и фенолов. Вопрос же о применении их в реакции алкилирования анилина не изучен.

В данной работе в реакции алкилирования анилина метанолом были исследованы синтетические цеолиты NaX , CaX и FeCaX . Степень сохранности цеолитового каркаса FeCaX контролировалась рентгенографическим методом.

Реакцию алкилирования проводили в проточной системе со стационарным слоем катализатора в кварцевом реакторе, куда загружали катализатор с общим объемом 50 мл.

Катализат, полученный алкилированием анилина метанолом, анализировали на хроматографе ЛХМ-72 с длиной колонки 1,5 м, диаметром 4 мм. В колонку загружали Целит-545 с размером зерен 0,25—0,5 мм, пропитанный полиэтиленгликолем — 4000 (25% к весу сорбента.)

Температура колонки — 137°C, скорость газа-носителя гелия — 50 мл/мин.

Реакцию алкилирования проводили в пределах температур — 250—450° и при объемной скорости 0,1 ч⁻¹.

Результаты исследований приведены в таблицах 1 и 2.

Таблица 1

Алкилирование анилина метиловым спиртом в присутствии синтетического цеолита NaX в паровой фазе.

Соотношение анилин : метанол = 1 : 2, объемная скорость 0,1 ч⁻¹

Температура опыта, °C	Выход метиланина, %	Состав алкилата, %							
		анилин	метанол	метил-анилин	диметил-анилин	O—толуидин	П—толуидин	M—толуидин	неидентифицированные
250	20,7	64,3	13,2	11,4	5,5	0,4	0,6	—	4,6
300	24,5	62,1	12,7	14,6	6,9	0,3	0,5	—	2,9
350	30,0	61,0	11,5	19,5	8,0	—	—	—	—
400	24,5	48,0	13,0	18,0	4,0	7,0	9,0	0,8	—

Как видно из таблицы 1, на синтетическом цеолите NaX в основном получается матиланилин. При 350° выход его составляет 30 % от теоретического.

Было проведено алкилирование также на синтетическом цеолите CaX и модифицированном FeCaX.

Если на цеолите NaX в основном получается метиланилин, то на цеолите CaX и его модифицированной форме образуются толуидины (таблица 2).

Таблица 2

Алкилирование анилина метиловым спиртом в присутствии синтетических цеолитов CaX и FeCaX в паровой фазе. Составление анилина: метанола = 1 : 2, объемная скорость 0,14·⁻¹

Температура опыта, °C	Выход толуидинов, %	Состав алкилата, %							
		анилин	метанол	метила-нилин	диметил-анилин	о-толуидин	п-толуидин	м-толуидин	ксили-дин
CaX									
300	84,8	21,2	9,0	—	15,0	33,0	17,0	4,7	—
350	73,9	17,5	7,4	6,5	1,7	16,0	23,2	18,6	6,5
400	60,9	19,6	8,3	—	—	24,0	16,0	10,0	17,5
450	54,4	26,6	9,5	—	—	18,5	15,0	11,6	13,0
FeCaX									
300	51,8	23,5	14,1	13,7	14,8	2,2	20,4	5,9	4,6
350	57,0	22,8	14,7	12,5	13,5	3,5	21,4	8,7	2,9
400	59,9	20,9	13,6	11,7	12,1	5,4	22,3	9,6	4,4

Как видно из таблицы 2, на цеолите CaX максимальный выход толуидинов наблюдается при 300° — 84,8 %. С увеличением температуры выход толуидинов от теоретического уменьшается, но при 400° в алкилате наблюдается максимальный выход ксилидинов — 17,5 %, которые также являются ценными промежуточными продуктами в производстве красителей.

Надо отметить, что на цеолите CaX выход метил- и диметиланилинов практически не наблюдается, лишь при 350° их выход составляет 8 %, тогда как введение иона железа способствует образованию метил- и диметиланилинов, суммарный выход которых составляет 26,0 % (таблица 2).

На синтетическом цеолите FeCaX с повышением температуры от 300 до 400° увеличивается выход толуидинов, достигая при 400° максимума — 59,9 %.

Институт физической и органической химии им. П. Г. Меликишвили АН ГССР

Поступило 07.06.1983

З. КОЗАДГ, З. КЕОПД

ანონიმუს გეთანალიზი ალკოლიდები მოდიფიცირებულ სიმთხვეზე ვიოლითები

რ ე ზ ი უ მ ე

პირველი არის შესწავლილი ანილინის ალკილირება მეთანოლით სინთეზური ცეოლითების — NaX, CaX, FeCaX თანაბაძესას.

NaX სინთეზურ ცეოლიტზე ძირითადად მიღება მონო- და დიმეთილანდილური კარბონატები, რომელთა მაქსიმალური გამოსავალი არ აღემატება 30 %.

CaX სინთეზურ ცეოლიტზე მიღებული ტოლუიდინების მაქსიმალური გა-
მოსავალი აღწევს 84 % (თეორიულთან შედარებით).

აღნიშნულ ცეოლიტში რეინის იონების შეყვანა ხელს უწყობს მონო-
და დიმეთილანდინების რაოდენობის ზრდას.

G. O. CHIVADZE, L. Z. CHKHEIDZE

ALKILATION OF ANILINE BY METHANOL ON MODIFIED SYNTHETIC ZEOLITES

Summary

The reaction of aniline alkylation by methanol on modified synthetic zeolites NaX, CaX and FeCaX was studied and investigated for the first time. The degree of safety of FeCaX zeolite carkass was controlled by roentgenographic method.

The alkylation reaction was carried out in the flowing sistem with stationary layer of catalyst in quartz reactor, in the temperature range 250°—450° and the molar-ratio methanol-aniline = 1:2, the rate of mixture feed—0,1 hour⁻¹.

Methylaniline was mainly got on NaX zeolite with the yield which makes up 30% of theoretical, at 350°.

Toluidines were obtained on CaX and its modified forms with maximum yield—84,8% at 300°.

The yield of methyl and dimethylanilines was not observed on CaX. The introduction of iron ions into this zeolite contributes to the quantitativ increase of methyl and dimethylanilines.

The increase of the temperature is rather telling for CaX and FeCaX decreasing yield of the first and increasing yield of the last one.



УДК 543.544

Н. А. ОСИПОВА

ИССЛЕДОВАНИЕ ХРОМАТОГРАФИЧЕСКИХ СВОЙСТВ ПРИРОДНОГО ДИАТОМИТА В КАЧЕСТВЕ ТВЕРДОГО НОСИТЕЛЯ

Природные диатомиты находят применение при изготовлении твердых инертных носителей для газо-жидкостной хроматографии.

По физико-химическим свойствам диатомиты наиболее полно удовлетворяют требованиям, предъявляемым к эффективным носителям. Диатомиты довольно однородны по структуре пор, кроме того они являются доступным и дешевым сырьем для получения носителей с необходимыми свойствами [1, 2].

Целью настоящей работы было исследование хроматографических свойств природного диатомита в качестве твердого носителя.

В наших экспериментах мы исследовали в качестве носителя исходный материал (природный диатомит) и продукт его модификации (природный диатомит, прокаленный при температуре 1000° в течение 8 часов).

Для сравнения в идентичных условиях был изучен стандартный диатомитовый твердый носитель — Цветохром 1К.

В качестве неподвижной фазы использовался апиезон L. Исследования проводились на хроматографе ЛХМ—72 с пламенно-ионизационным детектором. Длина хроматографической колонки — 1,5 м, внутренний диаметр — 4 мм, расход газа-носителя (азота) — 30 мл/мин. Температура нагрева колонки 140°. Количество жидкой фазы, нанесенной на твердый носитель, составляло 10% от его веса. Модельные смеси состояли из предельных и ароматических углеводородов.

Критерием качества разделения веществ является коэффициент разделения K.

Расчет коэффициентов разделения K отдельных бинарных смесей ароматических и предельных углеводородов показал, что диатомит, прокаленный при температуре 1000° и содержащий 10% апиезона L, характеризуется хорошей разделительной способностью по отношению к указанным в таблице 1 бинарным смесям, в то время, как природный диатомит, содержащий апиезон L, не в состоянии разделить указанные выше смеси.

Таблица 1

Коэффициенты разделения (K) отдельных бинарных смесей. Неподвижная фаза — 10% апиезона L на твердом носителе. Температура колонки 140°

Бинарная смесь	Твердый носитель		
	Цветохром 1К	Диатомит природн.	Диатомит, прок. 1000°С
Гексан-гептан	0,82	0,55	1,2
Гептан-октан	0,96	0,67	1,1
Октан-нонан	1,51	0,69	1,79
Нонан-декан	1,83	0,72	2,0
Бензол-голуол	1,79	0,98	2,2
Толуол-этилбензол	1,98	0,98	1,99
Этилбензол-кумол	0,85	0,78	1,2
Кумол-псевдокумол	2,13	1,5	2,47



Из полученных результатов следует, что природный диатомит (предварительно каленый при температуре 1000°) можно успешно использовать для разделения смеси ароматических C_6 — C_9 и предельных углеводородов и что по разделяющей способности они не уступают таким стандартным твердым носителям, как Цветохром 1К.

Институт физической и органической
химии им. П. Г. Меликишивили АН ГССР

Поступило 12.12.1983:

Б. ОСИПОВА

მცარ სარჩულად გამოყენებული გუნდებითი დიატომიტის
არამატოგრაფიული თვისებების კვლევა

რეზიუმე

ჩატარებულია მყარ სარჩულად გამოყენებული ბუნებრივი დიატომიტის ქრომატოგრაფიული თვისებების კვლევა.

დადგენილია, რომ ბუნებრივი დიატომიტი (გააჭივებული 1000°-ზე) შეიძლება წარმატებით გამოვიყენოთ C_6 — C_9 არომატული და C_5 — C_{10} ნახერი ნახშირწყალბადების ნარევების დასაყოფად. დაყოფითი უნარით ბუნებრივი დიატომიტი არ ჩამოუვარდება ისეთ სტანდარტულ მყარ სარჩულს, როგორიცაა ცვეტოხრომი 1 K.

N. A. OSIPOVA

THE INVESTIGATION OF CHROMATOGRAPHIC CHARACTERISTICS OF NATURAL DIATOMITE AS A SOLID-CARRIER

Summary

The chromatographic characteristics of natural diatomite as a solid-carrier were investigated.

It was established, that natural diatomite tempered at 1000°C can be successfully used for separation of C_6 — C_9 aromatic mixture and limiting hydrocarbons, C_5 — C_{10} , and that, they are inferior by their separative ability to such standard solid carriers as 1K Tsvetochrom.

ლიტერატურა — ЛИТЕРАТУРА — REFERENCES

1. Березкин В. Т., Пахомов В. П., Сакодынский К. И. Твердые носители в газовой хроматографии, 1975.
2. Нотаре С. Д., Джувет Р. С., Газо-жидкостная хроматография, Л., изд. «Недра», 1966, 470.

УДК 621.791.66

В. Б. ЧХИКВИШВИЛИ, И. А. БАЙРАМАШВИЛИ, Г. В. РУСЕЦКИЙ,
Ж. Р. БАХЧИЕВА

ЛАБОРАТОРНАЯ УСТАНОВКА ДЛЯ ДИФФУЗИОННОГО СОЕДИНЕНИЯ МАТЕРИАЛОВ В ВАКУУМЕ И ГОРЯЧЕГО ФОРМОВАНИЯ ПОРОШКОВ

При изготовлении металлокерамических узлов наиболее целесообразным следует считать диффузионное соединение, поскольку оно обеспечивает получение вакуумнеплотного, термостойкого и вибродобиваемого узла без вспомогательных сваривающих материалов, что позволяет использовать такие соединения в различных агрессивных средах.

Для получения такого соединения авторами была создана установка диффузионной сварки УДС-431 по аналогии с установкой УДС-1, разработанной в Московском научно-исследовательском и конструкторском институте испытательных машин, приборов и средств измерения масс. В отличие от указанной, в новой установке расширен температурный диапазон, упрощена система обслуживания.

Созданная установка имеет следующие технические данные: максимальная температура — 2300К; рабочий вакуум в камере 133,3 × 10⁻⁵ Па, максимальное усилие сжатия — 3 · 10⁴ Н; максимальные габаритные размеры свариваемых деталей: диаметр — 0,06 м, длина — 0,08 м.

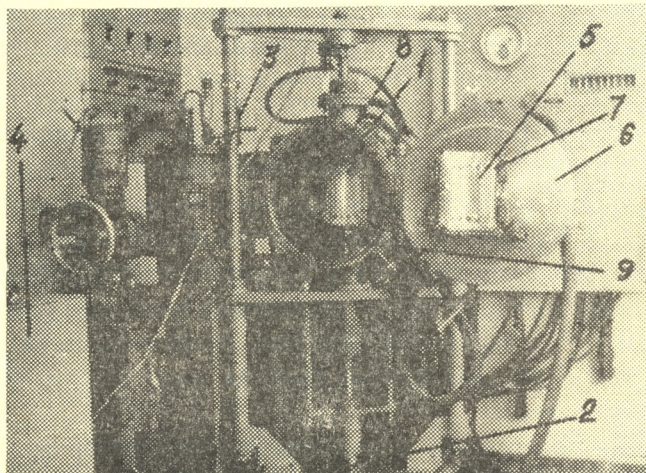


Рис. 1. Установка диффузионной сварки УДС-431: 1 — сварочная камера, 2 — гидравлическая система, 3 — система откачки, 4 — блок питания и пульт управления, 5 — нагреватели, 6 — съёмные двери, 7 — тепловые экраны, 8 — верхний шток, 9 — нижний шток

Конструктивно установка состоит (см. рис.) из сварочной камеры (1), гидравлической системы (2), системы откачки (3), блока питания (5) и пульта управления (4).

Камера представляет собой металлическую сварную конструкцию цилиндрической формы, внутри которой по окружности вокруг свариваемого образца расположены шестнадцать нагревателей (5) из вольфрамовой проволоки диаметром $2 \cdot 10^{-3}$ м с ниобиевым или молибденовым наконечниками. Для удобства обслуживания сварочная камера снабжена двумя съемными дверцами (6), на которых и укреплены нагреватели. Для уменьшения тепловых потерь и защиты стенок от нагрева последние изолированы тепловыми экранами из листового молибдена (7), закрепленными на дверцах. Свариваемый материал помещается между штоками (8, 9).

Для наблюдения за образцом, находящимся в зоне нагрева в корпусе камеры, предусмотрено смотровое окно с кварцевым стеклом.

Нижний шток (9) соединен с поршнем гидроцилиндра, верхний (8) — упирается в регулировочный болт, на котором устанавливают динамометр сжатия.

Подвод питания к нагревателям осуществляется гибкими водоохлаждаемыми кабелями сечением $9,5 \cdot 10^{-5}$ м². Дверцы камеры, корпус и штоки также охлаждаются проточной водой.

При работе усилие, развиваемое давлением масла в гидравлическом цилиндре системы, замыкается через штоки и свариваемый образец на силовую раму установки, что позволяет разгрузить корпус камеры и создать лучшие условия для ее герметизации. Необходимое усилие устанавливается по динамометру в зависимости от материала заготовки и размеров свариваемых поверхностей.

Работа на установке производится в следующем порядке. Включением электродвигателя гидросистемы свариваемые детали малым усилием прижимают к верхнему штоку. Плотно закрывают дверцы камеры и включают форвакуумный насос. По достижении остаточного давления в камере $133,3 \cdot 10^{-5}$ Па включают нагреватели, питание которых осуществляется через трансформатор типа ОСУ 40/05 мощностью 28 Квт. Измерение температуры до 2000К осуществляется термопарой вольфрам—рений, а выше — оптическим пирометром.

При достижении требуемой для диффузионной сварки температуры включают гидросистему и к свариваемым деталям прикладывается рабочее давление, которое поддерживается в процессе сварки. Продолжительность сварки составляет 4-5 часов при диффузионной сварке «металл-керамика» и 0,5 часа — при сварке «металл-металл».

После окончания сварки путем постепенного изменения напряжения на нагревателе плавно снижают температуру, выключают вакуумную систему, прекращают подачу охлаждающей воды.

Контроль рабочего вакуума и гидравлического усилия производят с пульта управления. На пульт управления выведены также амперметры и вольтметры с первичной обмотки трансформатора ОСУ—40/05, вольтметр для измерения напряжения на нагревателе, потенциометры магнитного усилителя.

Установка может быть использована в лабораторных условиях для сварки композиций металл-металл, металл-керамика и для горячего прессования порошковых материалов.

НИИ стабильных изотопов (НИИСИ),

г. Тбилиси

Поступило 15.08.83

ლაპორატორიული დანადგარი ვაკუუმი გასაღების დიფუზიური ზეროვანის
 და ცხვილების ცხლად დაბალიზებისათვის

რეზიუ მე

თერმო ემისიური გარდაქმნებისათვის გამოყენებული მეტალოკერამიკული კვანძების შესაქმნელად უფრო მიზანშეწონილად არის ჩათვლილი დიფუზური შედუღება ვაკუუმში.

აღწერილია ლაბორატორიული ვაკუუმური დანადგარი უდს-431, რომელიც შემდეგი ტექნიკური მონაცემებით ხასიათდება:

მაქსიმალური ტემპერატურა — 2300K;

მუშა-ვაკუუმი — $133,3 \cdot 10^{-5}$ Pa.

შაქსიმალური ძალა კუმშვაჩე — $3,10^4$ N.

დანადგარი შეიძლება გამოვიყენოთ კომპოზიციური მასალების დაყალიბებისათვის (მეტალი-მეტალი, მეტალი-კერამიკა), აგრეთვე ფევნილისებრი მასალების ცხელი დაწნეხვისათვის;

V. B. CHKHIKVISHVILI, I. A. BAIRAMASHVILI, G. V. RUSETSKIY,
 J. R. BAKHCHIEVA

AN EXPERIMENTAL SET-UP FOR VACUUM DIFFUSION BONDING OF MATERIALS AND HOT FORMING OF POWDERS

Summary

The paper presents the description of the experimental set-up, designed by the authors for vacuum diffusion bonding. The set-up has the following specifications: the maximum temperature, 2300 K; the maximum compression stress, $3 \cdot 10^4$ N; the working vacuum in the chamber, $133,3 \cdot 10^{-5}$ Pa.

The experimental set-up can be used for vacuum bonding of metal-metal, metal-ceramics compositions as well as for hot pressing of powders.

რედაქციის მისამართი:

380060, თბილისი-60, კუტუზოვის ქ. 19, ოთახი 16.
ტელ. 37-86-82

Адрес редакции:

380060, Тбилиси-60, Кутузова, 19, комната 16.
тел. 37-86-82

Корректор К. Кантария

Сдано в набор 07.06..84; подписано к печати 13.12.1984; УЭ 09300; формат бумаги $70 \times 108\frac{1}{16}$; бумага № 1; высокая печать; усл. печ. л. 7,0; уч.-изд. л. 5,7;
тираж 1070; заказ 1825; цена 90 коп.

გმირებულობა „მეცნიერება“, თბილისი, 380060, კუტუზოვის ქ., 19
Издательство «Мецниереба», Тбилиси, 380060, ул. Кутузова, 19

საქ. სსრ მეცნ. აკადემიის სტამბა, თბილისი, 380060, კუტუზოვის ქ., 19
Типография АН Груз. ССР, Тбилиси, 380060, ул. Кутузова, 19

К СВЕДЕНИЮ АВТОРОВ

1. В журнале «Известия АН Грузинской ССР, серия химическая» публикуются оригинальные статьи и краткие сообщения, содержащие результаты исследований теоретического и экспериментального характера по основным направлениям современной химии и технологии, а также обзорные статьи, написанные по заданию редакционной коллегии.

Периодически публикуется краткая хроника о конференциях, совещаниях, семинарах и других научно-организационных мероприятиях, проводимых в республике.

2. Объем статьи, включая таблицы, рисунки (3 рисунка приравниваются к одной странице), подписи к рисункам, список использованной литературы, резюме на грузинском и английском языках и реферат, не должен превышать 12 страниц машинописного текста, отпечатанного через два интервала. С левой стороны оставляются поля шириной 3—5 см.

3. Объем кратких сообщений не должен превышать 4 страницы машинописного текста (включая список использованной литературы и краткое резюме). Сообщения могут быть иллюстрированы 1—2 рисунками.

Резюме на английском и грузинском языках, список использованной литературы, таблицы и подписи к рисункам исполняются на отдельных листах.

Резюме и реферат не должны содержать без пояснения термины и формулы, смысл которых можно понять только из текста статьи.

4. Статьи (краткие сообщения) представляются в двух экземплярах с направлением учреждений, решением Ученого совета (кафедры, отдела, лаборатории) об их публикации, с заключением экспертной комиссии и авторскими справками.

В начале статьи (слева вверху) пишется индекс УДК, справа вверху указывается раздел журнала, в котором должна быть опубликована статья, затем следуют инициалы и фамилии авторов, заглавие и текст статьи. В конце текста с левой стороны указывается полное название учреждения, в котором выполнена работа. Статья должна быть подписана всеми авторами с указанием на отдельном листе их адресов и телефонов.

5. Изложению экспериментального материала должно предшествовать краткое введение, излагающее цель работы. Далее должно быть приведено описание и обсуждение полученных результатов и краткое заключение. Таблицы, приведенные в тексте статьи, следует озаглавить.

6. Формулы и буквенные обозначения должны быть вписаны четко и аккуратно от руки чернилами или тушью. Особое внимание следует обратить на тщательное изображение индексов и показателей степеней. Во избежание ошибок следует делать ясное различие между прописными и строчными буквами латинского алфавита: заглавные буквы подчеркнуть снизу двумя черточками, а строчные — сверху; греческие буквы обвести красным карандашом.

7. Рисунки должны быть исполнены на белой бумаге или на кальке тушью, с минимальным количеством обозначений. В тексте следует обязательно указать место для рисунков, вынося номер рисунка на поля. На оберте каждого рисунка карандашом должны быть написаны фамилии авторов, заглавие статьи, к которой относится рисунок. Рисунки и таблицы должны быть представлены в двух экземплярах (в надписанном конверте).

8. Цитируемая литература приводится на отдельной странице в конце статьи. Все ссылки даются в оригинальной транскрипции. Иностранные фамилии в статье даются в транскрипции основного текста.

Цитируемая литература приводится в следующем порядке:

- а) для **журнальных статей**: фамилии и инициалы всех авторов, название журнала, год, том, номер (серия), страница;
- б) для **книг**: фамилии и инициалы авторов, точное название книги, место издания, издательство, год, том (подчеркнуты) и страница.

При ссылке на патентную литературу указываются фамилия автора, наименование охранного документа, его номер, название страны (в скобках), сведения об изданнии, в котором опубликован документ.

Ссылки на неопубликованные работы (кроме диссертаций) не допускаются.

Использованная литература должна быть расположена в порядке последовательности цитирования.

9. Обозначение и сокращение физических величин должны соответствовать Международной системе единиц «Си». Кроме них можно использовать лишь единицы, допускаемые к применению наравне с единицами Си.

10. К статье должен был приложен реферат в двух экземплярах, составленный по форме ВИНИТИ.

11. Рукописи, не отвечающие настоящим правилам, редакцией не принимаются.

12. В журнале статьи публикуются в порядке поступления в редакцию. В случае возвращения автору статьи для доработки текста датой представления считается день получения редакции окончательного текста. В одном номере журнала может быть опубликована лишь одна статья автора.

13. Редакция посыпает автору одну корректуру статьи. В авторской корректуре исправление подлежат только ошибки типографии, никакие дополнения или изменения первоначального текста не допускаются.

Редакция бесплатно выдает авторам 12 отдельных оттисков статьи.



6⁹⁵/₂₄

Цена 90 коп.

Индекс 76203